

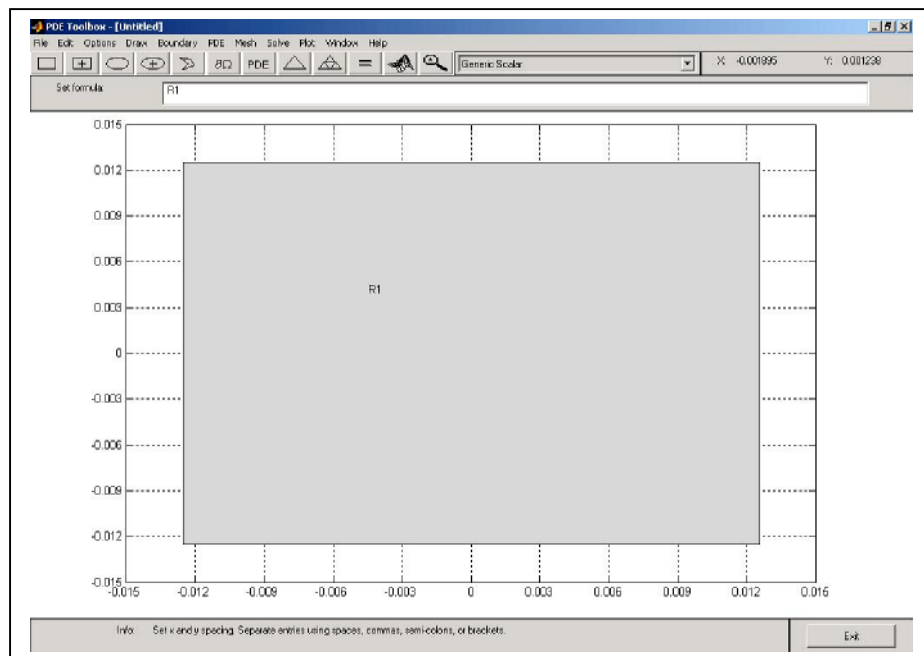
บทที่ 4

แบบจำลองคณิตศาสตร์การถ่ายโอนความร้อนและการถ่ายโอนมวล

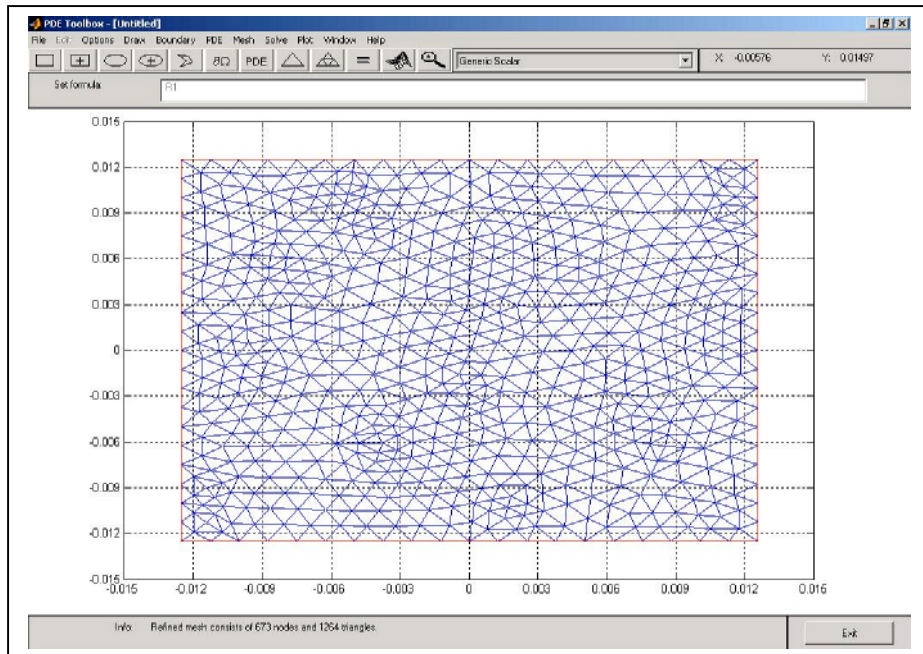
1. ขอบเขตการศึกษาและสมมุติฐานในการสร้างแบบจำลองคณิตศาสตร์

1.1 ขอบเขตการศึกษา

ทำการศึกษาสมการทางคณิตศาสตร์ของการถ่ายโอนความร้อนและการถ่ายโอนมวลสาร (Heat Transfer and Mass Transfer Equation) และโปรแกรมคอมพิวเตอร์ (Matlab 6.1) แล้วประยุกต์ใช้สมการทางคณิตศาสตร์และโปรแกรมคอมพิวเตอร์ดังกล่าวในแบบ Finite Element 2 มิติ (2-D Finite Element Model) โดยศึกษาถึงอิทธิพลของความชื้นเริ่มต้นของผลิตภัณฑ์ เวลา ที่ใช้ในการทดสอบ และอุณหภูมิน้ำมันที่ใช้ในการทดสอบ เพื่อแสดงการดูดซึมน้ำมันของเต้าหู้ปลาในการทดสอบภายใต้สภาวะสุญญาการ



ภาพประกอบที่ 4-1 ภาพแสดงภาพจำลองผลิตภัณฑ์เต้าหู้ปลา ขนาด 2.5×2.5 เมตร ในลักษณะตัดขวาง



ภาพประกอบที่ 4-2 ภาพแสดงการสร้างไฟน์อิลิเมนต์ภายในภาพจำลองผลิตภัณฑ์เต้าหู้ปลา

จากภาพประกอบที่ 4-1 และภาพประกอบที่ 4-2 เป็นการแสดงขั้นตอนการทำงานเชื่อมต่อระหว่างรูปที่ได้จากการสร้างรูปจำลองของผลิตภัณฑ์เต้าหู้ปลาในลักษณะตัดขวาง ขนาด 2.5×2.5 เซนติเมตร และไฟน์อิลิเมนต์ในภาพ ซึ่งการสร้างแบบจำลองการถ่ายโอนความร้อนและการถ่ายโอนมวลที่จะกล่าวในหัวข้อต่อไปจะดำเนินการในขั้นตอนดังกล่าวมีขั้นเดียวกัน คือ จะต้องสร้างรูปจำลองของผลิตภัณฑ์เต้าหู้ปลา และไฟน์อิลิเมนต์ในภาพขึ้นมา ก่อน หากแต่ขั้นตอนต่อไปซึ่งได้แก่การเลือกใช้สมการ และการคำนวณค่าคงที่เพื่อใช้ในการดำเนินการ จะแตกต่างกันตามแต่ความต้องการของงาน

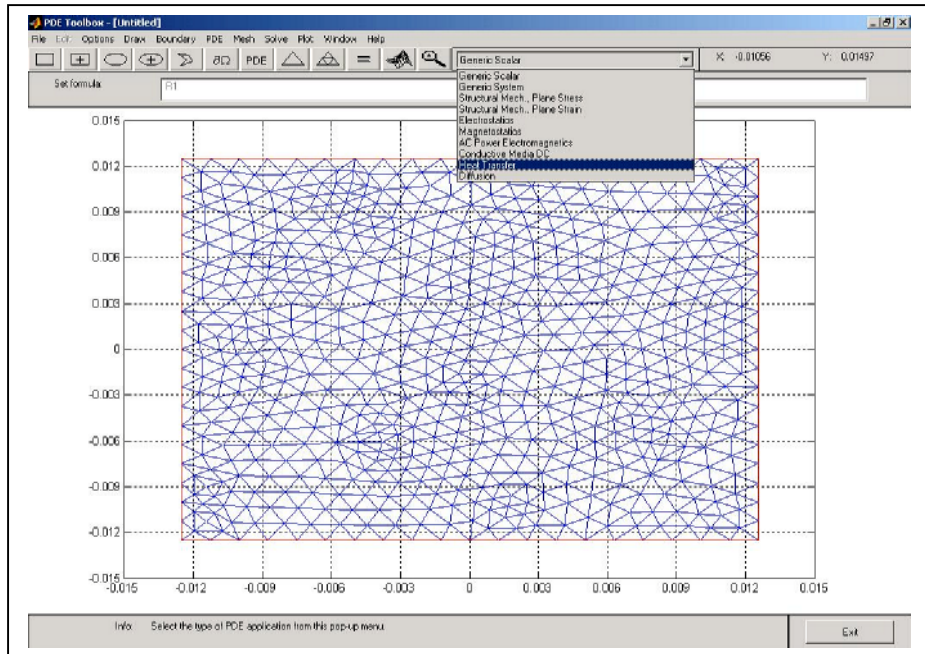
1.2 สมมุติฐานในการสร้างแบบจำลองคณิตศาสตร์

ในการศึกษาการถ่ายโอนความร้อนและการถ่ายโอนมวลเพื่อสร้างแบบจำลองทางคณิตศาสตร์ จะใช้สมมุติฐานในการศึกษา ได้แก่

1. ใน การศึกษาจะศึกษาการทดสอบภายในสภาวะสุญญาการ โดยอาจรวมอยู่ภายใน น้ำมันที่ใช้ในการทดสอบและสัมผัสกับน้ำมันทุกทิศทาง ที่อุณหภูมิของน้ำมันที่ใช้ทดสอบ 120 องศาเซลเซียส และความดันที่ใช้ในการทดสอบ 60 เซนติเมตรปารอทสุญญาการ ในระบบปิด

2. ภายนอกสภาวะสุญญากาศคุณภาพมีจุดเดือดของน้ำลดลงจากสภาวะบรรยายกาศปกติที่ 100 องศาเซลเซียส เหลือเพียง 62 องศาเซลเซียส มีผลให้การระเหยของน้ำเกิดขึ้นอย่างรวดเร็ว
3. การถ่ายโอนความร้อนจะเกิดขึ้นใน 2 ลักษณะ คือ การพาความร้อน (convection) ซึ่งเกิดจากการถ่ายโอนความร้อนจากน้ำมันที่ใช้ในการหยอดสู่ผิวของผลิตภัณฑ์เตาหัวปลาน และการนำความร้อน (conduction) ซึ่งเกิดจากการถ่ายโอนความร้อนภายนอกในเนื้ออาหาร
4. ความร้อนจากน้ำมันจะถูกใช้ในการเพิ่มคุณภาพของความชื้นในผลิตภัณฑ์เตาหัวปลาน สู่คุณภาพมีจุดเดือดและทำให้เกิดการระเหยออกจากผลิตภัณฑ์เตาหัวปลา โดยคุณภาพนี้ที่เพิ่มขึ้นของผลิตภัณฑ์เตาหัวปลาไม่ผลโดยตรงมาจากการคุณภาพน้ำมันที่ใช้ในการหยอด
5. เมื่อผลิตภัณฑ์เตาหัวปลาไม่มีการระเหยน้ำออกจากผลิตภัณฑ์จะทำให้คุณภาพของผลิตภัณฑ์ลดลงอยู่ที่คุณภาพมีจุดเดือดของน้ำจนกระทั่งน้ำระเหยออกไปมากขึ้นการเพิ่มของคุณภาพของผลิตภัณฑ์จะคงจะเพิ่มขึ้น
6. การถ่ายโอนความร้อนและการถ่ายโอนน้ำมัน สามารถแบ่งออกได้เป็น 2 ช่วง ได้แก่ ช่วง constant period และ falling period โดยแบ่งเป็นช่วงเวลา 0-15 วินาที และ 0-60 วินาทีของการหยอด สำหรับ constant period ของการถ่ายโอนความร้อนและการถ่ายโอนน้ำมันตามลำดับ และ ช่วงเวลา 16-150 วินาที และ 61-150 วินาที ของการหยอด สำหรับ falling period ของการถ่ายโอนความร้อนและการถ่ายโอนน้ำมันตามลำดับ ในขณะที่การถ่ายโอนความชื้น จะมีเฉพาะช่วง constant period ตั้งแต่เวลา 0-150 วินาที ของการหยอด โดยที่แต่ละช่วงจะมีความจำเพาะในการใช้ค่าคงที่ต่าง ๆ ในการหาผลเฉลยของการถ่ายโอนความร้อนและการถ่ายโอนมวล
7. ระหว่างช่วง constant period น้ำที่ระเหยจะเป็น free water โดยการระเหยเป็นไอ และการแพร่ออกจากการหยอดสู่อากาศ ส่วนช่วง falling period จะเกิดการแพร่ของ bound water การเกิด crust จะเริ่มเกิดระหว่างช่วง constant period หรือมีการระเหยของน้ำเกิดขึ้นแล้ว และเกิดการสร้างตัวสมบูรณ์ของ crust ในช่วง falling period
8. อัตราการดูดซึมน้ำมันจะขึ้นกับอัตราการสูญเสียความชื้น ในระหว่าง constant period และ crust ที่เกิดขึ้น รวมทั้งความดันภายในผลิตภัณฑ์เตาหัวปลานจะมีอิทธิพลต่ออัตราการดูดซึมน้ำมันและอัตราการสูญเสียน้ำของผลิตภัณฑ์เตาหัวปลา
9. การถ่ายโอนความร้อนจะใช้คุณภาพของผลิตภัณฑ์ก่อนหยอดและคุณภาพที่วัดได้ที่ วินาทีที่ 150 เป็นสภาวะขอบเขต ขณะที่การถ่ายโอนความชื้นจะใช้ความเข้มข้นความชื้นที่คำนวณได้ที่วินาทีที่ 150 เป็นสภาวะขอบเขต และใช้ความเข้มข้นน้ำมันมากที่สุดที่คำนวณได้ในช่วง constant period และที่วินาทีที่ 150 เป็นสภาวะขอบเขต

2. การถ่ายโอนความร้อน



ภาพประกอบที่ 4-3 ภาพแสดงการเลือกใช้ฟังก์ชันการถ่ายโอนความร้อน (Heat Transfer)

ในการศึกษาการถ่ายโอนความร้อนด้วยแบบจำลองคณิตศาสตร์ โดยใช้โปรแกรม Matlab 6.1 นั้น จากภาพประกอบที่ 4-3 สมการการถ่ายโอนความร้อน (Heat Transfer Equation) ในลักษณะ Parabolic ศึกษาความสัมพันธ์ข้างขึ้นกับผลการทดลองในหัวข้อที่ 8 ของบทที่ 3 ดังแสดงในรูปสมการ 4-1

$$\rho * C * T' - \operatorname{div}[k * \operatorname{grad}(T)] = Q + h * (T_{\text{ext}} - T) \quad (4-1)$$

ซึ่งรูปทั่วไปของสมการดังกล่าวได้แก่

$$\rho * C_p * \frac{dT}{dt} - \operatorname{div}[k * \nabla(T)] = Q_{\text{heat}} + h * (T_{\text{ext}} - T) \quad (4-2)$$

เมื่อ ρ = ความหนาแน่นของตัวอย่าง (kg/m^3)

C_p = ความร้อนจำเพาะ ($\text{J}/\text{kg}^{\circ}\text{C}$)

dT/dt = การเปลี่ยนแปลงอุณหภูมิ ($^{\circ}\text{C}/\text{s}$)

k = สัมประสิทธิ์การนำการความร้อน ($\text{W}/\text{m}^{\circ}\text{C}$)
 \dot{Q}_{heat} = การระเหยที่ผิวน้ำ ($\text{J}/\text{m}^3\text{s}$)

$$\dot{h} = h \times \frac{A_s}{V} \quad (4-3)$$

h = สัมประสิทธิ์การพาความร้อน ($\text{W}/\text{m}^2\text{ }^{\circ}\text{C}$)
 A_s = พื้นที่ผิว (m^2)
 V = ปริมาตร (m^3)
 T_{ext} = อุณหภูมิกายนอก (${}^{\circ}\text{C}$)
 T = อุณหภูมิต่ำแห่งในตัวอย่าง (${}^{\circ}\text{C}$)

โดยใช้ค่าคงที่ในการดำเนินการสำหรับสมการ 4-2 ดังแสดงในตารางที่ 4-1 โดยจะแบ่งช่วงในการใช้ค่าคงที่เป็น 2 ช่วง ได้แก่

Constant Period = 0-15 วินาทีของการทดสอบซึ่งมีอัตราการถ่ายโอนความร้อนสูง
Falling Period = 16-150 วินาทีของการทดสอบซึ่งมีอัตราการถ่ายโอนความร้อนลดลง

ตารางที่ 4-1 ตารางแสดงค่าคงที่ต่าง ๆ ที่ใช้ในการดำเนินการสำหรับสมการถ่ายโอนความร้อน (Heat Transfer Equation)

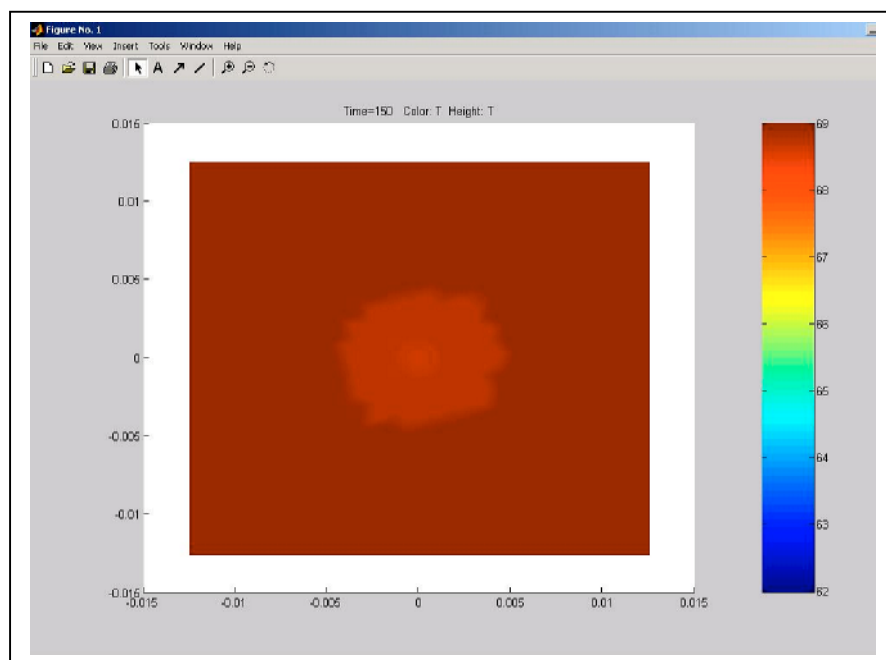
| Properties | Values | |
|---|-----------------|----------------|
| | Constant Period | Falling Period |
| ρ (kg/m^3) | 876 | 728 |
| C_p ($\text{J}/\text{kg } {}^{\circ}\text{C}$) | 3124 | 4687 |
| k ($\text{W}/\text{m } {}^{\circ}\text{C}$) | 0.38 | 2.28 |
| \dot{Q}_{heat} (J) | -27309 | -40963 |
| h ($\text{W}/\text{m}^2\text{ }{}^{\circ}\text{C}$) | 0.0000362 | 0.0000362 |
| A_s (m^2) | 0.0051566 | 0.0051566 |
| V (m^3) | 0.0000252 | 0.0000252 |
| T_{ext} (${}^{\circ}\text{C}$) | 120 | 120 |

นอกจากนี้ค่าคงที่ที่ใช้ในการดำเนินการสำหรับ Boundary Condition และ Solve Parameter ดังแสดงในตารางที่ 4-2 โดยเลือกใช้ Boundary Condition ในแบบ Dirichlet เนื่องจากระบบที่ศึกษานี้ขึ้นกับอุณหภูมิ เนื่องจากที่สภาวะสุญญากาศอุณหภูมิจุดเดียวของน้ำจะลดลง จาก 100 องศาเซลเซียส เหลือเพียง 62 องศาเซลเซียส และผลที่ได้จากการวัดอุณหภูมิภายในผลิตภัณฑ์เต้าหู้ป้านั้น พบร่วมกับอุณหภูมิสูงสุดที่วัดได้ที่ตัวผิวของผลิตภัณฑ์ 1 มิลลิเมตรนั้น มีค่า 68 องศาเซลเซียส ความคลาดเคลื่อนจากอุปกรณ์วัดอุณหภูมิอีกประมาณ 2-5 องศาเซลเซียส จึงประมาณค่าที่ Boundary Condition เท่ากับ 69 องศาเซลเซียส และใช้อุณหภูมิของผลิตภัณฑ์ ก่อนทดสอบที่ 27 องศาเซลเซียสเป็นสภาวะขอบเขตเพื่อให้ได้ผลใกล้เคียงผลจากการทดลองจริง ตารางที่ 4-2 ตารางแสดงค่าคงที่ต่าง ๆ ที่ใช้ในการดำเนินการสำหรับ Boundary Condition และ Solve Parameter สำหรับการถ่ายโอนความร้อน

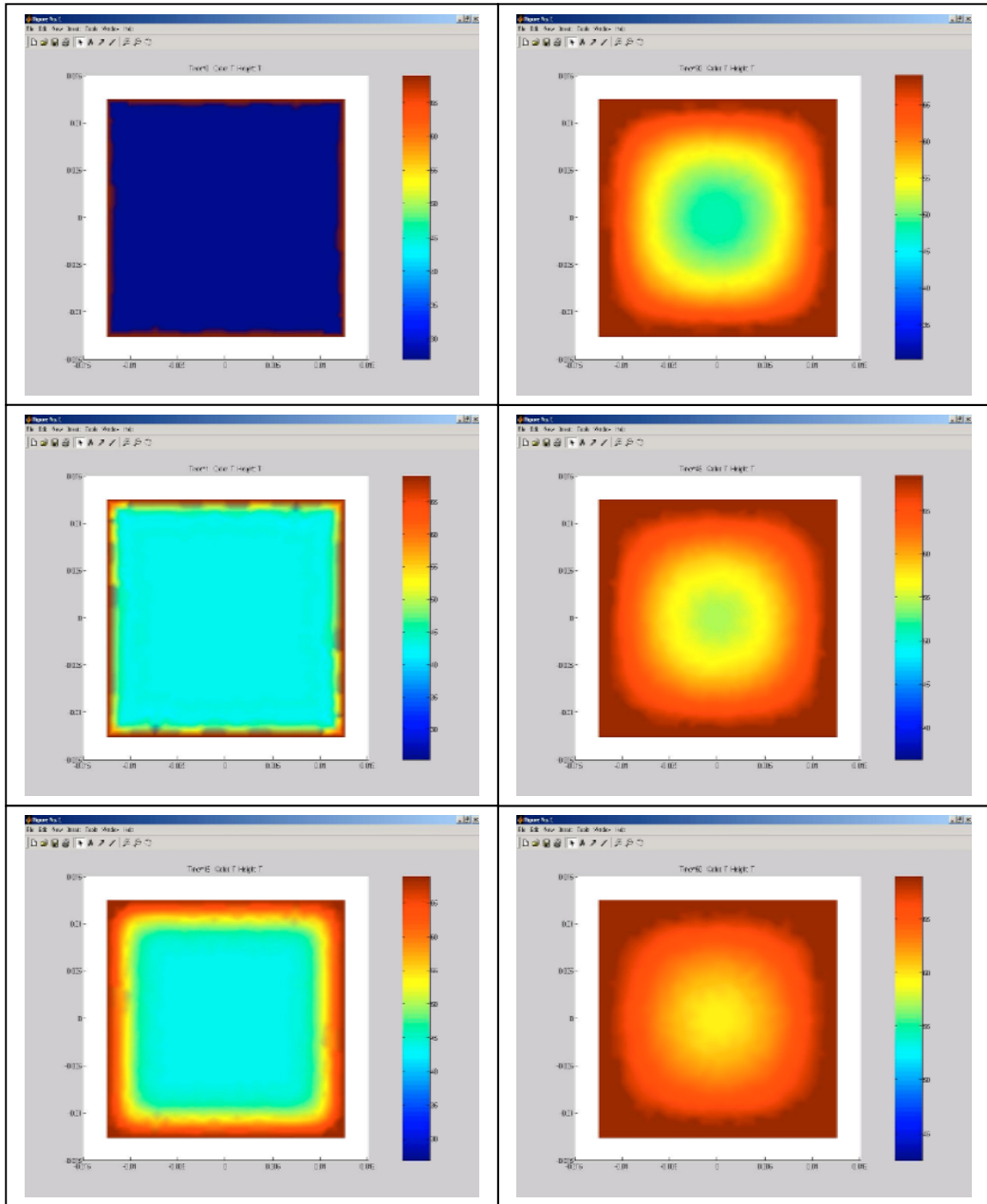
| ค่าคงที่สำหรับ | ค่าคงที่ | สัญลักษณ์ | ค่าที่ใช้ |
|---------------------|---|-----------|-----------|
| Boundary Conditions | อุณหภูมิ ($^{\circ}\text{C}$) | t | 69 |
| Solve Parameter | อุณหภูมิเริ่มต้นของผลิตภัณฑ์ ($^{\circ}\text{C}$) | $U(t_0)$ | 27 |
| | เวลา (s) | Time | 0:150 |

ในภาพประกอบที่ 4-4 แสดงการประยุกต์ใช้โปรแกรม Matlab 6.1 ในการแสดงภาพนิ่ง ในลักษณะสองมิติของการถ่ายโอนความร้อนจากบริเวณผิวของผลิตภัณฑ์เข้าสู่ภายในผลิตภัณฑ์ ที่ทดสอบภายใต้สภาวะสุญญากาศ ในลักษณะภาพตัดขวางของผลิตภัณฑ์เต้าหู้ปลา ขนาด 2.5×2.5 เซนติเมตร ที่เวลาในการทดสอบ 150 วินาที ส่วนในภาพประกอบที่ 4-5 และภาพประกอบที่ 4-6 นั้น แสดงภาพสองมิติแสดงการถ่ายโอนความร้อนภายในผลิตภัณฑ์เต้าหู้ปลาที่ทดสอบภายใต้สภาวะสุญญากาศ ที่เวลาในการทดสอบ 0 ถึง 60 และ 75 ถึง 150 วินาที ตามลำดับ พบร่วมกันนิ่งสองมิติที่ได้ สามารถแสดงการถ่ายโอนความร้อนภายในผลิตภัณฑ์เต้าหู้ปลาที่ทดสอบภายใต้สภาวะสุญญากาศที่เปลี่ยนไปตามเวลาในการทดสอบ ภาพนิ่งที่ได้สามารถใช้สีในการบอกถึงระดับสูงต่ำของอุณหภูมิ โดยที่บริเวณอุณหภูมิระดับต่ำจะแสดงเป็นสีน้ำเงินเข้มและໄลร์เวดดับเบิลจูนกระหงถึงสีแดงเข้มที่บ่งบอกถึงระดับอุณหภูมิสูง ตาม Colorbar บอกระดับอุณหภูมิที่แสดงไว้ทางขวามือของภาพ โดยระดับความร้อนจะเริ่มมีการถ่ายโอนจากผิวของผลิตภัณฑ์ซึ่งสัมผัสกับน้ำมันเป็นตัวกลางการถ่ายโอนความร้อนในระหว่างการทดสอบ ที่เวลาในการทดสอบเพิ่มมากขึ้นนั้นการถ่ายโอนความร้อนสู่ภายในผลิตภัณฑ์จะเพิ่มขึ้นแปรผันตามเวลาในการทดสอบ ซึ่งจะสังเกตการถ่ายโอนของ

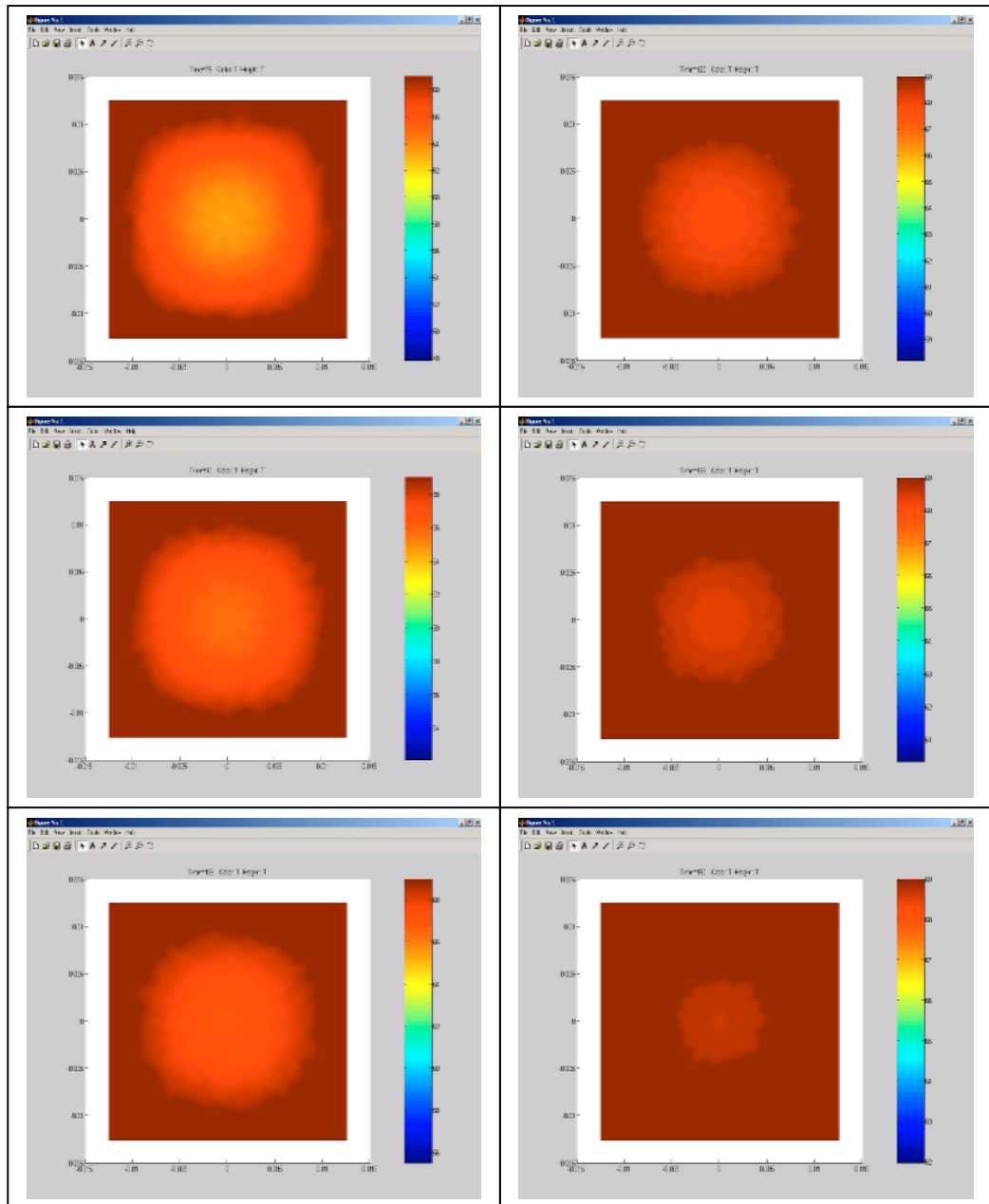
ความร้อนดังกล่าวได้ดีตลอดระยะเวลาในการทดสอบ หากแต่การกระจายของความร้อนภายในการทดสอบที่มากขึ้นมีระดับสูงใกล้เคียงกันทั่วทั้งชิ้นผลิตภัณฑ์ การถ่ายโอนความร้อนภายในผลิตภัณฑ์ เต้าหู้ปลาจะมีระดับอุณหภูมิสูงโดยเด่นอย่างชัดเจนบริเวณผิวของผลิตภัณฑ์ เนื่องจากที่บริเวณผิวนั้นสมมัติโดยตรงกับน้ำมันซึ่งเปรียบเสมือนกับแหล่งความร้อนในการถ่ายโอนนั้นเอง ดังนั้นจากการประมวลผลจะแสดงถึงอุณหภูมิสูงสุดของ Boundary Condition ในทุกภาพภาพประกอบหากแต่จะแตกต่างกันที่ระยะขอบเขตของ อุณหภูมิในระดับสูงนั้นจะอยู่ ๆ ไม่มากขึ้นในภาพประกอบที่เวลาในการทดสอบเพิ่มมากขึ้น การถ่ายโอนความร้อนภายในผลิตภัณฑ์เต้าหู้ปลาที่ทดสอบภายใต้สภาวะสุญญากาศ ดังแสดงในภาพประกอบแสดงว่าการถ่ายโอนความร้อนเข้าสู่ภายในผลิตภัณฑ์นั้นมีลักษณะการแพร่เข้าไปเป็น ระดับชั้นชั้นเดียวกับกราฟที่ได้จากการทดลองในหัวข้อที่ 8 ของบทที่ 3 ซึ่งน่าจะยืนยันความเป็นไปได้ของแบบจำลองทางคณิตศาสตร์ การแพร่หรือการถ่ายโอนความร้อนเข้าสู่ภายในผลิตภัณฑ์เต้าหู้ปลาเป็นระดับชั้นนั้น จะเริ่มจากเมื่อบริเวณผิวของผลิตภัณฑ์ได้รับความร้อนจากน้ำมันซึ่งมี อุณหภูมิสูงกว่าจนกระทั่งถึงระดับหนึ่ง ก็จะมีการแพร่ของความร้อนเข้าสู่บริเวณถัดไปซึ่งมี อุณหภูมิต่ำกว่า ในขณะที่ความร้อนจากภายในออกจะมีการแพร่เข้าสู่บริเวณที่สูญเสียความร้อนใน การถ่ายเท้อย่างต่อเนื่อง ในลักษณะต่อเนื่องเช่นนี้ไปเรื่อย ๆ จนกระทั่งสิ้นสุดเวลาในการทดสอบ



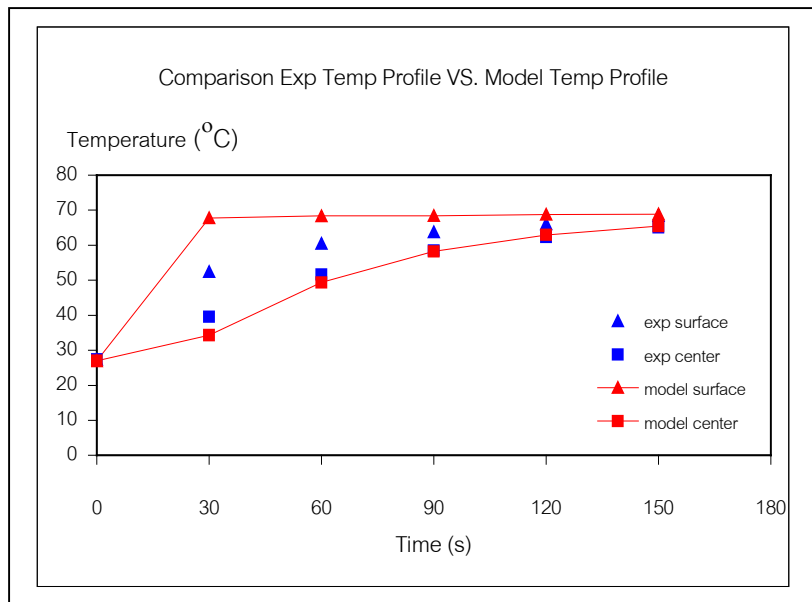
ภาพประกอบที่ 4-4 ภาพสองมิติแสดงการถ่ายโอนความร้อนภายในผลิตภัณฑ์เต้าหู้ปลาที่ทดสอบภายใต้สภาวะสุญญากาศ ที่เวลาในการทดสอบ 150 วินาที



ภาพประกอบที่ 4-5 ภาพสองมิติแสดงการถ่ายโอนความร้อนภายในผลิตภัณฑ์เต้าหู้ปลาที่ทดสอบภายใต้สภาวะสุญญากาศ ที่เวลาในการทดสอบ 0, 1, 15, 30, 45 และ 60 วินาที เรียงลำดับจากบนลงล่างและข้ายไปขวาตามลำดับ



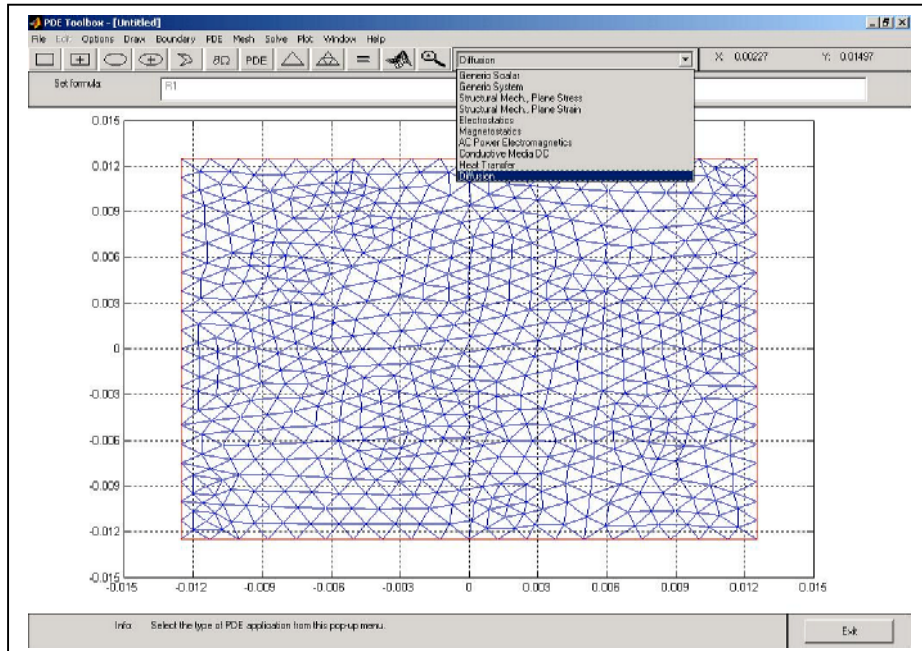
ภาพประกอบที่ 4-6 ภาพสองมิติแสดงการถ่ายโอนความร้อนภายในผลิตภัณฑ์เต้าหู้ปลาที่ทดสอบภายใต้สภาวะสุญญาอากาศ ที่เวลาในการทดสอบ 75, 90, 105, 120, 135 และ 150 วินาที เรียงลำดับจากบนลงล่างและซ้ายไปขวาตามลำดับ



ภาพประกอบที่ 4-7 กราฟแสดงการเปรียบเทียบอุณหภูมิระหว่างผลจากการทดลองกับแบบจำลองทางคณิตศาสตร์

เมื่อนำค่าเฉลี่ยความชื้นที่ได้จากแบบจำลองคณิตศาสตร์ ในภาพประกอบที่ 4-5 และภาพประกอบที่ 4-6 มาทำการแสดงด้วยกราฟเปรียบเทียบอุณหภูมิที่อ่านได้จากแบบจำลองทางคณิตศาสตร์กับอุณหภูมิที่วัดได้จากการทดลองที่เวลาที่ใช้ในการทดสอบ 0-150 วินาที ดังแสดงในภาพประกอบที่ 4-7 พบว่า การเปลี่ยนแปลงไปของอุณหภูมิที่ได้จากแบบจำลองทางคณิตศาสตร์ และจากการทดลองมีแนวโน้มเพิ่มขึ้นในลักษณะเดียวกัน โดยอุณหภูมิที่จุดศูนย์กลางของผลิตภัณฑ์เด้าหัวปลาที่ได้จากแบบจำลองทางคณิตศาสตร์มีค่าใกล้เคียงกับอุณหภูมิที่วัดได้จริงจากการทดลอง ในขณะที่อุณหภูมิที่บริเวณใต้ผิวน้ำ 1 มิลลิเมตรนั้น ผลที่ได้จากการทดลองมีค่าต่ำกว่าที่อ่านได้จากแบบจำลองทางคณิตศาสตร์มากในช่วงแรก และมีค่าในระดับใกล้เคียงกันภายหลังจากวินาทีที่ 90 ของการทดสอบ จนกระทั่งสิ้นสุดการทดสอบ

3. การถ่ายโอนมวลสาร



ภาพประกอบที่ 4-8 ภาพแสดงการเลือกใช้ฟังก์ชันการแพร่ (Diffusion)

ในการศึกษาการถ่ายโอนมวลด้วยแบบจำลองคณิตศาสตร์ โดยใช้โปรแกรม Matlab 6.1 นั้น จากราบประกอบที่ 4-37 สมการการถ่ายโอนมวล หรือสมการการแพร่ (Diffusion Equation) ในลักษณะ Parabolic ศึกษาความสัมพันธ์อ้างอิงกับผลการทดลองในหัวข้อที่ 1 และ 2 ของบทที่ 3 จะแสดงในรูป

$$c' - \operatorname{div}(D * \operatorname{grad}(c)) = Q \quad (4-3)$$

รูปที่ 4-8 ของสมการดังกล่าวได้แก่

$$\frac{dc}{dt} - \operatorname{div}[D \times \nabla(c)] = Q_{\text{mass}} \quad (4-4)$$

เมื่อ $\frac{dc}{dt}$ = การเปลี่ยนแปลงความเข้มข้น ($\text{kg}/\text{m}^3\text{s}$)

D = สัมประสิทธิ์การแพร่ (m^2/s)

c = ความเข้มข้น (kg/m^3)

Q_{mass} = การระเหยหรือการดูดซึมที่ผิวน้ำ ($\text{kg}/\text{m}^3\text{s}$)

โดยใช้ค่าคงที่ในการดำเนินการสำหรับสมการ 4-4 ดังแสดงในตารางที่ 4-3 โดยจะแบ่งช่วงในการใส่ค่าคงที่เป็น 2 ช่วง ได้แก่

Constant Period = 0-60 วินาทีแรกของการทดสอบซึ่งมีอัตราการถ่ายโอนความร้อนสูง

Falling Period = 60-150 วินาทีของ การทดสอบซึ่งมีอัตราการถ่ายโอนความร้อนลดลง

ตารางที่ 4-3 ตารางแสดงค่าคงที่ต่าง ๆ ที่ใช้ในการดำเนินการสำหรับสมการ Diffusion

| สัญลักษณ์ | ค่าที่ใช้ | | |
|--|------------------------|-----------------------|-----------------------|
| | การถ่ายโอน ความชื้น | การถ่ายโอนน้ำมัน | |
| | | Constant Period | Falling Period |
| D (m^2/s) | | 2.0×10^{-10} | 2.0×10^{-10} |
| $Q_{\text{mass}} (\text{kg}/\text{m}^2\text{s})$ | -0.484 | 2.065 | 0.221 |

โดยแบ่งช่วงในการดำเนินการของการถ่ายโอนน้ำมันออกเป็น 2 ช่วง ได้แก่ ช่วง 0-60 วินาทีแรก และ ช่วง 60-150 วินาที เนื่องจากผลการทดลองในหัวข้อที่ 2 ของบทที่ 3 กราฟที่แสดงปริมาณน้ำมันของผลิตภัณฑ์เต้าหู้ปลาจะมีอัตราการดูดซึมน้ำมันสูงมากในช่วง 0-30 วินาทีแรก มีอัตราการดูดซึมน้ำมันลดลงในเวลาต่อมา และมีอัตราลดลงอย่างรวดเร็วและมากขึ้นภายหลังวินาทีที่ 60 ของการทดสอบ นอกจากรายละเอียดค่าคงที่ที่ใช้ในการดำเนินการสำหรับ Boundary Condition และ Solve Parameter มีค่าต่าง ๆ ดังแสดงในตารางที่ 4-4 โดยเลือกใช้ Boundary Condition ในแบบ Dirichlet เนื่องจากระบบที่ศึกษานี้ขึ้นกับความเข้มข้น การถ่ายโอนความชื้นจะใช้ความเข้มข้นความชื้นที่กำหนดได้ทุกวินาทีที่ 150 เป็นสภาวะขอบเขต ส่วนการถ่ายโอนน้ำมันจะใช้ความเข้มข้นน้ำมันมากที่สุดที่กำหนดได้ในช่วง constant period และความเข้มข้นน้ำมันที่วินาทีที่ 150 เป็นสภาวะขอบเขต

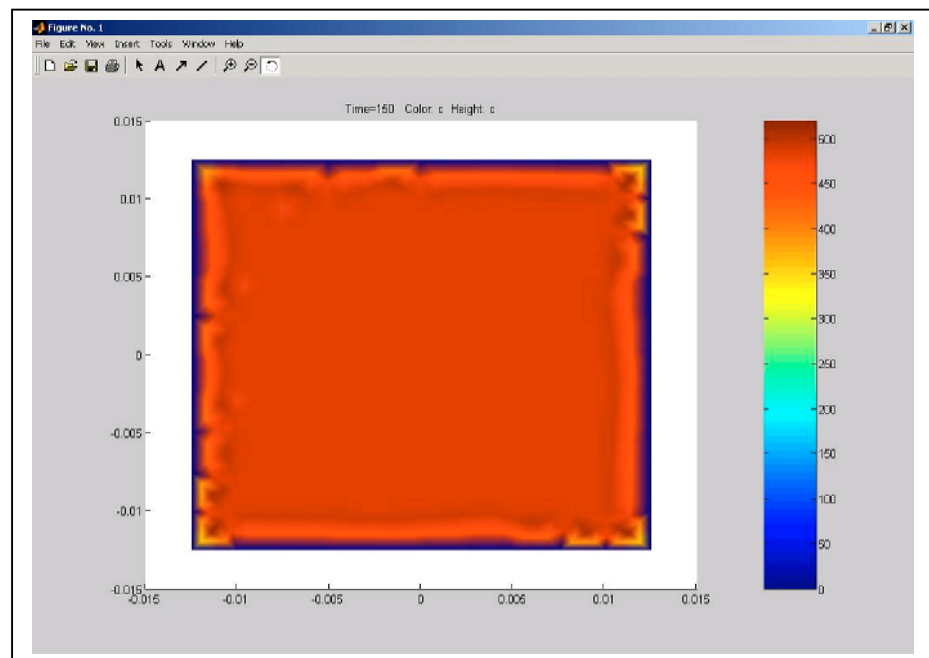
ตารางที่ 4-4 ตารางแสดงค่าคงที่ต่าง ๆ ที่ใช้ในการดำเนินการสำหรับ Boundary Condition และ Solve Parameter สำหรับการถ่ายโอนมวล

| ค่าคงที่สำหรับ | ค่าคงที่ | สัญลักษณ์ | ค่าที่ใช้สำหรับการถ่ายโอน | |
|---------------------|--|---------------|---------------------------|--------------|
| | | | ความชื้น | น้ำมัน |
| Boundary Conditions | ความเข้มข้น (kg/m^3) | c | 0 | 800 หรือ 270 |
| Solve Parameter | ความเข้มข้นเริ่มต้น (kg/m^3) เวลา (s) | U(t0) Time | 556 0:150 | 0 0:150 |

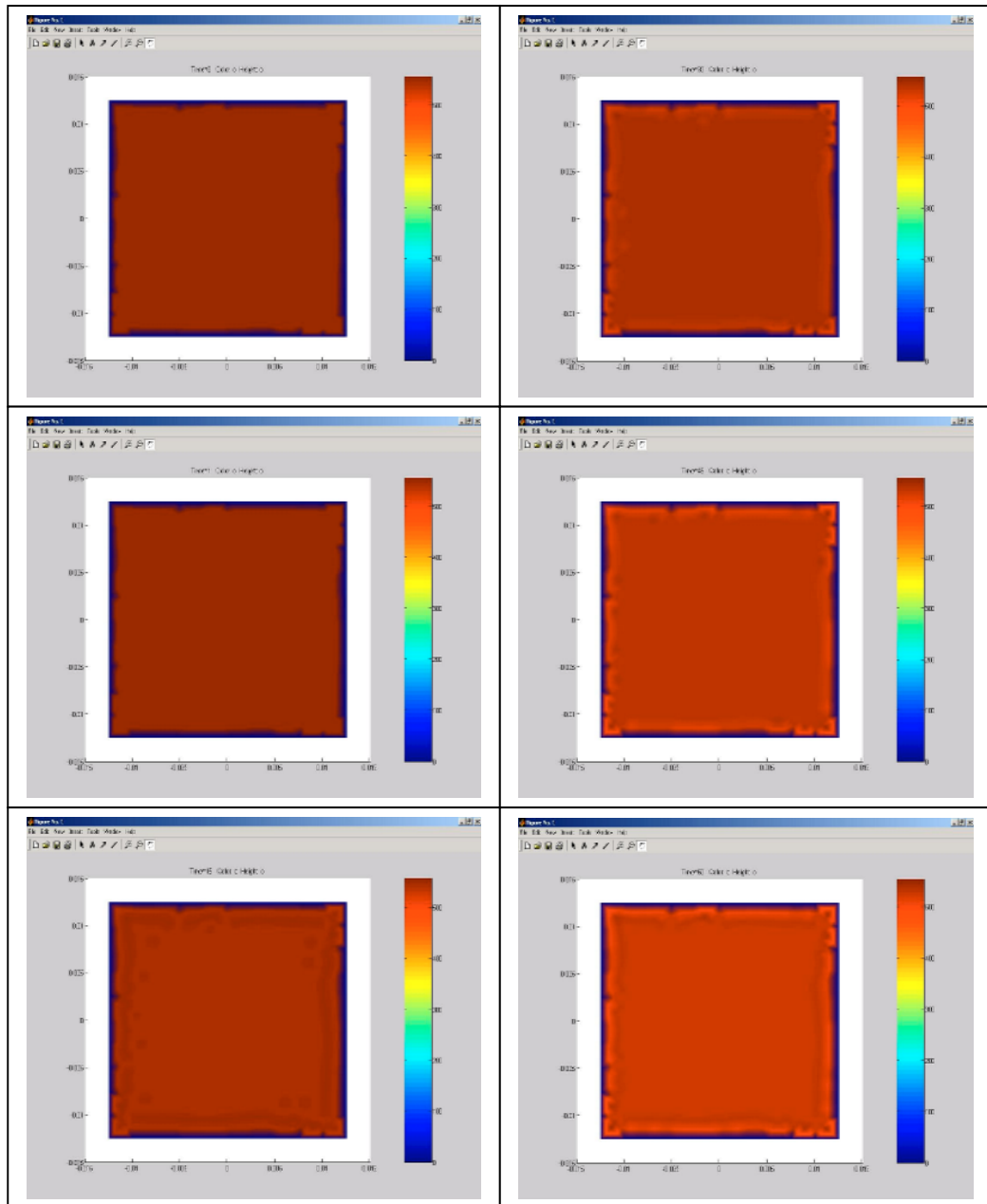
3.1 การถ่ายโอนความชื้น

จากภาพประกอบที่ 4-9 แสดงการประยุกต์ใช้โปรแกรม Matlab 6.1 ในการแสดงภาพนิ่งในลักษณะสองมิติของการถ่ายโอนมวลของผลิตภัณฑ์เต้าหู้ปลาที่ทอโดยได้สภาวะสุญญาการ ในลักษณะภาพตัดขวางของผลิตภัณฑ์เต้าหู้ปลา ขนาด 2.5×2.5 เซนติเมตร ที่เวลาในการทอ 150 วินาที ภาพประกอบที่ 4-10 และภาพประกอบที่ 4-11 แสดงภาพสองมิติแสดงการถ่ายโอนความชื้นออกจากการถ่ายโอนมวลของผลิตภัณฑ์เต้าหู้ปลาที่ทอโดยได้สภาวะสุญญาการ ที่เวลาในการทอ 0 ถึง 60 และ 75 ถึง 150 วินาที ตามลำดับ พบว่าภาพนิ่งสองมิติที่ได้สามารถแสดงการถ่ายโอนความชื้นภายในผลิตภัณฑ์เต้าหู้ปลาที่ทอโดยได้สภาวะสุญญาการแบบพันตามเวลาได้ ภาพนิ่งที่ได้สามารถใช้สีในการบอกถึงระดับสูงต่ำของความเข้มข้นของความชื้น โดยที่บริเวณความเข้มข้นระดับต่ำจะแสดงเป็นสีน้ำเงินเข้มและໄ่ระดับไปจนกระทั่งถึงสีแดงเข้มที่บ่งบอกถึงความเข้มข้นระดับสูง ตาม Colorbar บอกระดับความเข้มข้นที่แสดงไว้ทางขวามือของภาพ เช่นเดียวกับแบบจำลองคณิตศาสตร์การถ่ายโอนความร้อน โดยระดับความเข้มข้นจะเริ่มมีการถ่ายโอนจากภายในผลิตภัณฑ์สู่ภายนอกผลิตภัณฑ์ซึ่งสัมผัสกับหน้ามันซึ่งมีอุณหภูมิสูงในระหว่างการทอ ที่เวลาในการทอเพิ่มมากขึ้นนั้นการถ่ายโอนความชื้นออกจากการถ่ายโอนจะเพิ่มขึ้นแบบพันตามเวลาในการทอ เช่นเดียวกับการถ่ายโอนความร้อน การสังเกตการถ่ายโอนของความชื้นดังกล่าวในระยะเวลา การทอจะทำให้แยกกว่าการสังเกตการถ่ายโอนความร้อนในผลิตภัณฑ์ เนื่องจากการถ่ายโอนความชื้นออกจากผลิตภัณฑ์สู่ภายนอกนั้น มีการเปลี่ยนแปลงความเข้มข้นของความชื้นในแต่ละบริเวณภายในเนื้อผลิตภัณฑ์แตกต่างกันน้อยกว่าระดับอุณหภูมิที่แสดงความแตกต่างของระดับชัดเจนมากกว่า การกระจายของความชื้นภายในผลิตภัณฑ์จะสังเกตได้ชัดเจนจากบริเวณผิวของผลิตภัณฑ์และลึกเข้าสู่เนื้อผลิตภัณฑ์ไม่มากนัก เมื่อเวลาในการทอมากขึ้นความเข้มข้นของโนนสีจะลดลง เนื่องจากบริเวณดังกล่าวสามารถสัมผัสโดยตรงกับหน้ามันซึ่งมีอุณหภูมิสูงกว่าผลิตภัณฑ์มาก และบริเวณดังกล่าวสามารถถ่ายโอนมวลสารได้อิสระกว่าบริเวณถัดเข้าสู่ภายนอกในผลิตภัณฑ์ ในขณะบริเวณพื้นที่ภายในเนื้อผลิตภัณฑ์โดยส่วนใหญ่การแสดงผลจะออกมารูปแบบวงรีระดับความเข้มสีในโนนสีใกล้เคียงกันมากจึงอาจสังเกตได้ยาก ดังนั้นจากการถ่ายโอนมวลของผลิตภัณฑ์ในลักษณะของ Colorbar ซึ่งแสดงถึงระดับความเข้มข้นต่ำสุดที่บริเวณผิวของผลิตภัณฑ์ในทุกภาพประกอบหากแต่จะแตกต่างกันที่ความเข้มข้นของโนนสีแดงในบริเวณเนื้อผลิตภัณฑ์โดยส่วนนั้นจะค่อย ๆ ลดระดับความเข้มลงที่เวลาในการทอเพิ่มมากขึ้นแสดงถึงปริมาณความชื้นที่สูญเสียไปในระหว่างการทอ

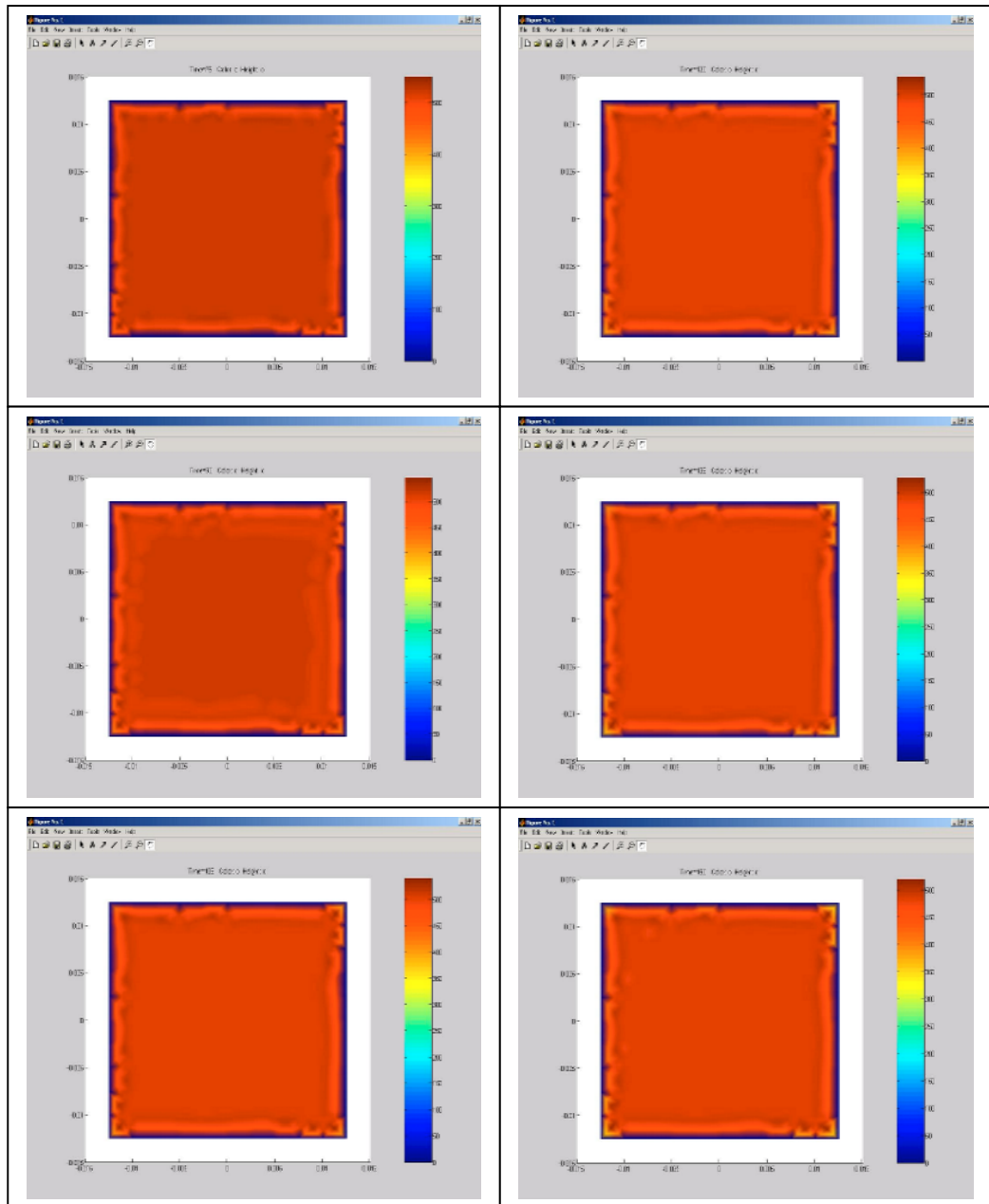
การถ่ายโอนความชื้นภายในผลิตภัณฑ์เต้าหู้ปลาที่ทออดภายในได้สภาวะสุญญาการดังแสดงในภาพประกอบแสดงว่าการถ่ายโอนความชื้นออกจากการผลิตภัณฑ์นั้นมีอัตราสูงและเกิดอย่างรวดเร็วเฉพาะที่บริเวณผิวของผลิตภัณฑ์ซึ่งน่าจะเป็นเหตุผลของการเกิดผิวแข็งหรือการใหม่ที่เรียกว่า crust บริเวณผิวผลิตภัณฑ์เนื่องจากผิวแข็งหรือ crust นั้น จากการทดลองและจากการถ่ายจะพบว่ามีความหนาไม่มากนัก ประมาณ 1 มิลลิเมตรจากผิว ซึ่งจากแบบจำลองคณิตศาสตร์บริเวณดังกล่าวจะมีสีน้ำเงินเข้มตั้งแต่เริ่มแรกในการทออด ซึ่งน่าจะแสดงได้ว่าส่วนที่มีการสูญเสียความชื้นอย่างรวดเร็วในการทออดนั้นจะมีการเปลี่ยนไปเป็น crust ที่มีผลต่อการถ่ายโอนมวลสารเข้าออกในกราฟโดยเมื่อเวลาในการทอเดิมขึ้น



ภาพประกอบที่ 4-9 ภาพสองมิติแสดงการถ่ายโอนความชื้นภายในผลิตภัณฑ์เต้าหู้ปลาที่ทออดภายในได้สภาวะสุญญาการ ที่เวลาในการทอ 150 วินาที

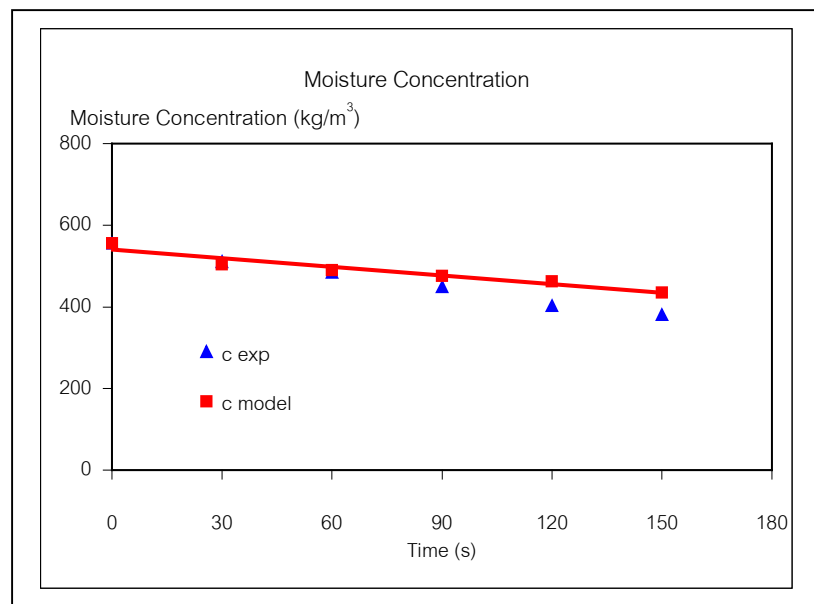


ภาพประกอบที่ 4-10 ภาพสองมิติแสดงการถ่ายโอนความชื้นภายในผลิตภัณฑ์เต้าหู้ปลาที่ทดสอบภายใต้สภาวะสุญญาอากาศ ที่เวลาในการทดสอบ 0, 1, 15, 30, 45 และ 60 วินาที เรียงลำดับจากบนลงล่างและข้ายไปขวาตามลำดับ



ภาพประกอบที่ 4-11 ภาพสองมิติแสดงการถ่ายโอนความชื้นภายในผลิตภัณฑ์เต้าหู้ปลาที่ทดสอบภายใต้สภาวะสุญญาการ ที่เวลาในการทดสอบ 75, 90, 105, 120, 135 และ 150 วินาที เรียงลำดับจากบนลงล่างและข้าย上ไปตามลำดับ

เมื่อนำค่าเฉลี่ยความชื้นที่ได้จากแบบจำลองคณิตศาสตร์ ในภาพประกอบที่ 4-10 และภาพประกอบที่ 4-11 มาทำการแสดงด้วยกราฟเปรียบเทียบความเข้มข้นของความชื้นเฉลี่ยกับผลที่ได้จากการทดลองที่เวลาที่ใช้ในการทดสอบ 0-150 วินาที ดังแสดงในภาพประกอบที่ 4-12 พบว่า การเปลี่ยนแปลงไปของความเข้มข้นความชื้นเฉลี่ยที่ได้จากแบบจำลองทางคณิตศาสตร์และความเข้มข้นความชื้นเฉลี่ยที่คำนวณแปลงค่าจากการทดลองมีแนวโน้มลดลงในลักษณะเดียวกันและใกล้เคียงกันมาก ค่าความชันกราฟความเข้มข้นของความชื้นจากการทดลอง เท่ากับ -0.708 ในขณะที่แบบจำลองทางคณิตศาสตร์มีค่าความชันเท่ากับ -1.176 แสดงว่าแบบจำลองทางคณิตศาสตร์ที่ได้นำมาสามารถแสดงการถ่ายโอนความชื้นแทนผลที่ได้จากการทดลองได้ โดยจะให้ค่าที่ใกล้เคียงในช่วง 0-60 วินาที แรกของการทดสอบ ภายหลังวินาทีที่ 60 จะกระทำการลดลงอย่างต่อเนื่องจนถึงสุดการทดสอบทอดนั้น ค่าความเข้มข้นของความชื้นที่ได้จากแบบจำลองทางคณิตศาสตร์จะมีค่าสูงกว่าค่าความเข้มข้นของความชื้นที่ได้จากการทดลอง การทดลองเพื่อวิเคราะห์หาความชื้นภายในผลิตภัณฑ์นั้นค่าที่ได้จะแสดงในลักษณะเปอร์เซ็นความชื้น ดังนั้นเมื่อจะสร้างแบบจำลองทางคณิตศาสตร์จึงจำเป็นต้องคำนวณแปลงค่าไปเป็นค่าของความเข้มข้นความชื้นเนื่องจากข้อจำกัดในการป้อนข้อมูลของแบบจำลองทางคณิตศาสตร์

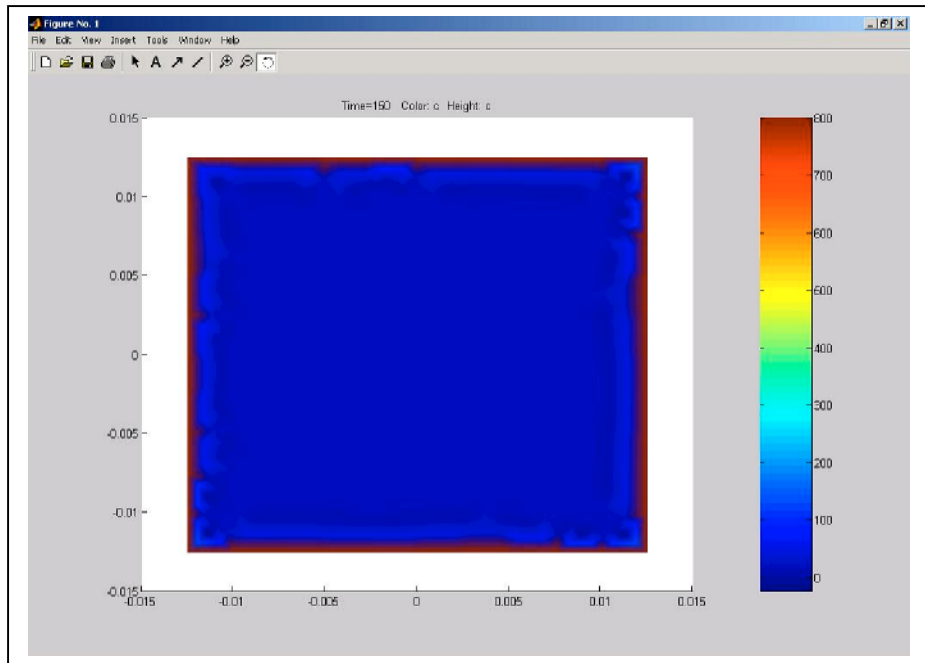


ภาพประกอบที่ 4-12 กราฟแสดงการเปรียบเทียบความเข้มข้นของความชื้นเฉลี่ยระหว่างผลจาก การทดลองกับแบบจำลองทางคณิตศาสตร์

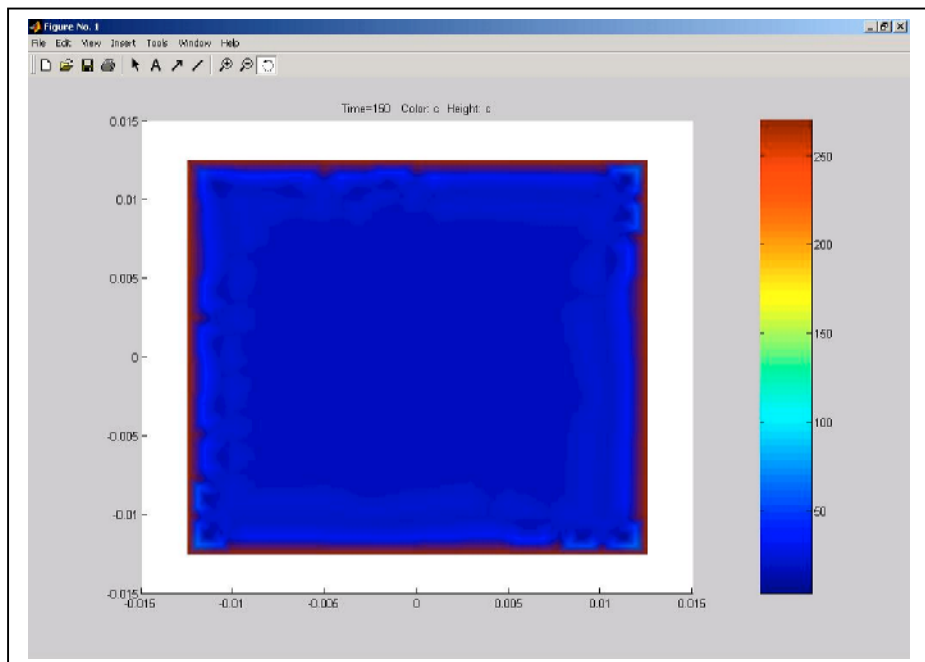
3.2 การถ่ายโอนน้ำมัน

จากการภาพประกอบที่ 4-13 และภาพประกอบที่ 4-14 แสดงภาพนิ่งในลักษณะสองมิติ ของการถ่ายโอนน้ำมันที่ใช้ในการทดสอบเข้าสู่ผลิตภัณฑ์เต้าหู้ปลาที่ทดสอบภายใต้สภาวะสุญญาการ ในลักษณะภาพตัดขวางของผลิตภัณฑ์เต้าหู้ปลา ขนาด 2.5×2.5 เซนติเมตร ที่เวลาในการทดสอบ 150 วินาที ที่ Boundary Condition ของน้ำมันที่ผิวผลิตภัณฑ์เท่ากับ 800 kg/m^3 และ 270 kg/m^3 โดยคำนวณจากความเข้มข้นน้ำมันมากที่สุดที่คำนวณได้ในช่วง constant period และความเข้มข้นน้ำมันที่วินาทีที่ 150 ตามลำดับ

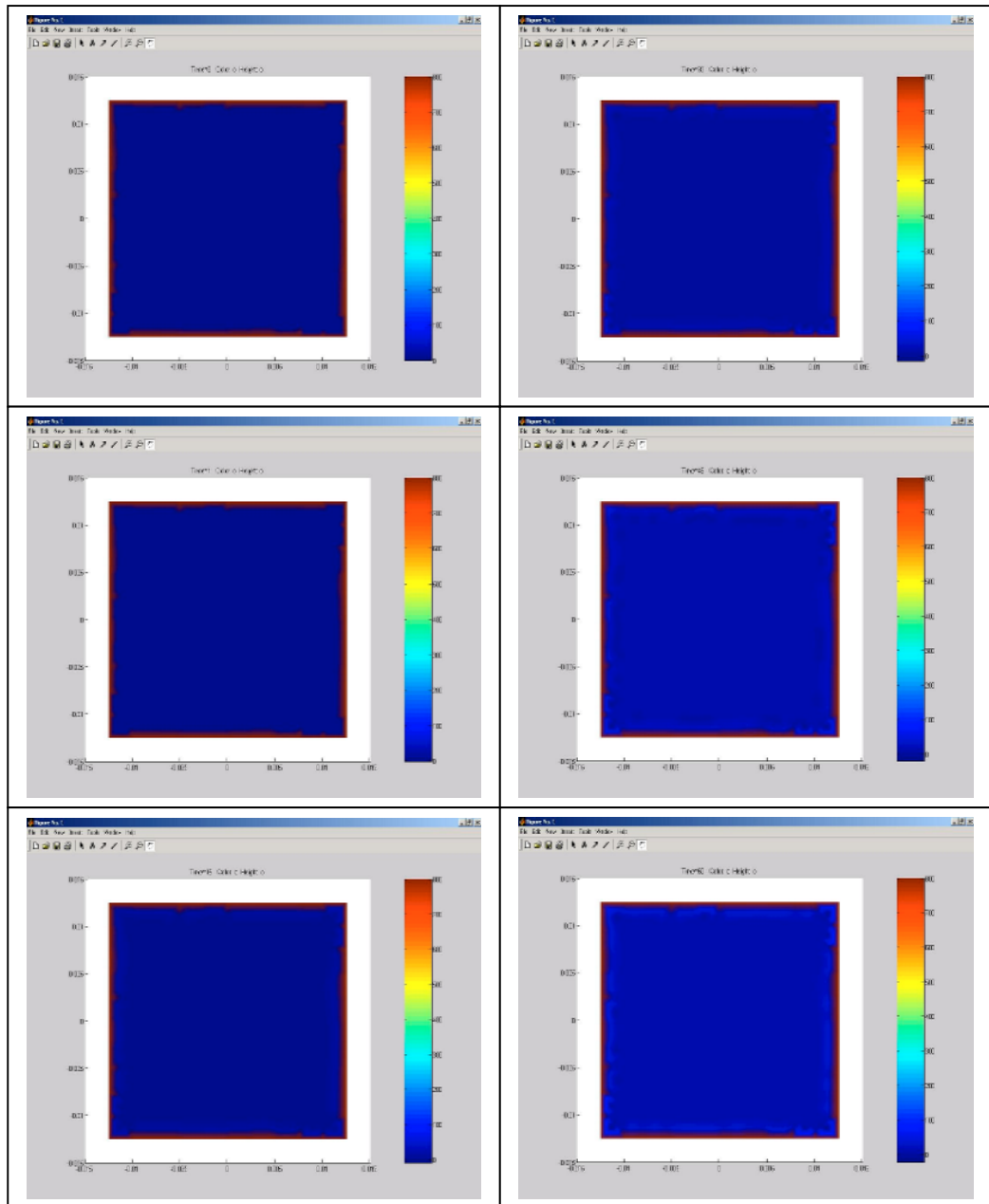
จากการภาพประกอบที่ 4-15 และภาพประกอบที่ 4-16 แสดงภาพนิ่งในลักษณะสองมิติ ของการถ่ายโอนน้ำมันที่ใช้ในการทดสอบเข้าสู่ผลิตภัณฑ์เต้าหู้ปลาที่ทดสอบภายใต้สภาวะสุญญาการ ในลักษณะภาพตัดขวางของผลิตภัณฑ์เต้าหู้ปลา ขนาด 2.5×2.5 เซนติเมตร ที่ Boundary Condition ของน้ำมันที่ผิวผลิตภัณฑ์เท่ากับ 800 kg/m^3 ที่เวลาในการทดสอบ 0 ถึง 60 และ 75 ถึง 150 วินาที ตามลำดับ และภาพประกอบที่ 4-18 และภาพประกอบที่ 4-19 แสดงภาพนิ่งใน ลักษณะสองมิติของการถ่ายโอนน้ำมันที่ใช้ในการทดสอบเข้าสู่ผลิตภัณฑ์เต้าหู้ปลาที่ทดสอบภายใต้ สภาวะสุญญาการ ในลักษณะภาพตัดขวางของผลิตภัณฑ์เต้าหู้ปลา ขนาด 2.5×2.5 เซนติเมตร ที่ Boundary Condition ของน้ำมันที่ผิวผลิตภัณฑ์เท่ากับ 270 kg/m^3 ที่เวลาในการทดสอบ 0 ถึง 60 และ 75 ถึง 150 วินาที ตามลำดับ



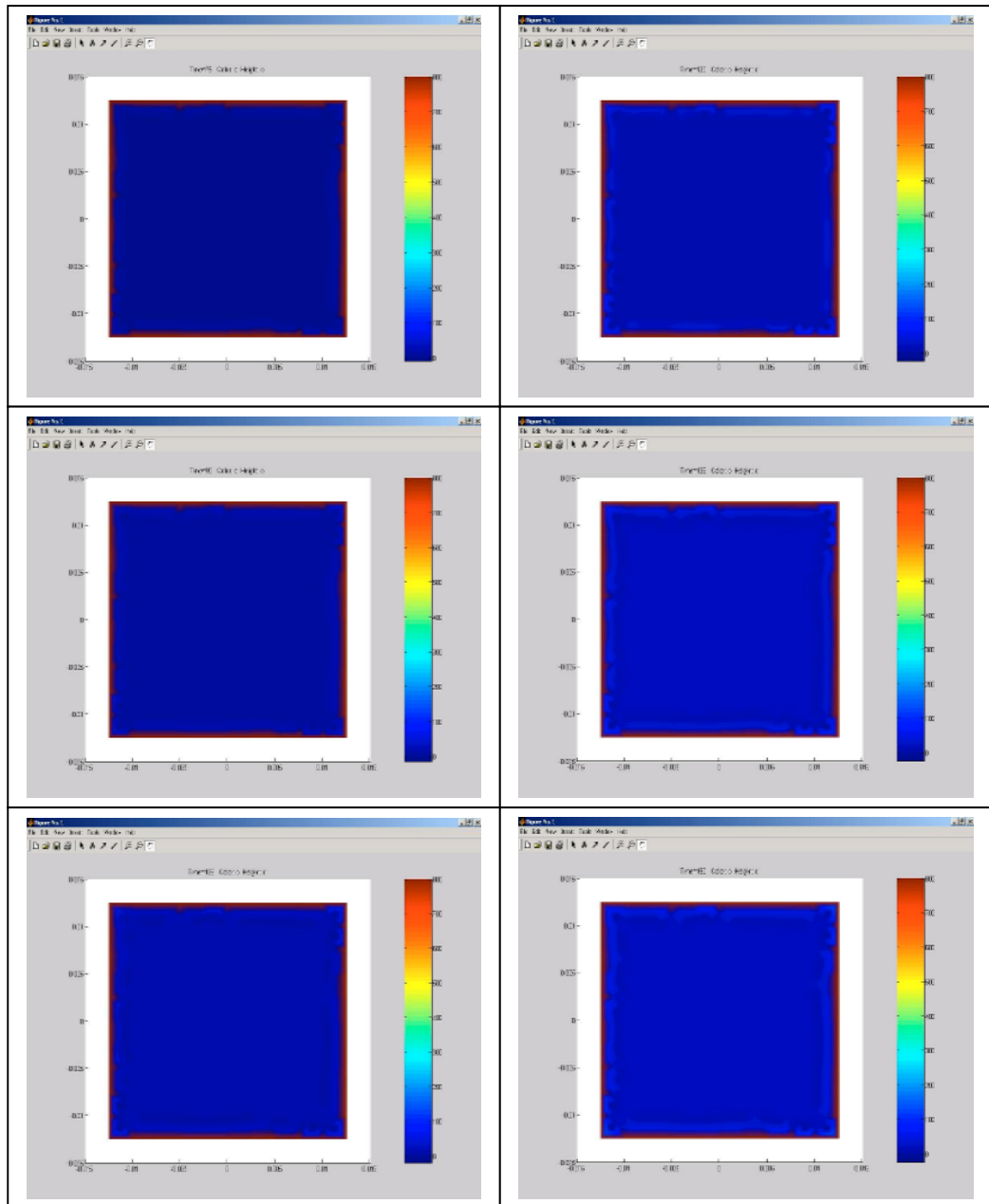
ภาพประกอบที่ 4-13 ภาพสองมิติแสดงการถ่ายโอนน้ำมันภายในผลิตภัณฑ์เต้าหู้ปลาที่ทอเด้าย
ใต้สภาวะสุญญาการ ที่เวลาในการทดสอบ 150 วินาที Boundary Condition ของน้ำมันที่ผิวผลิต
ภัณฑ์เท่ากับ 800 kg/m^3



ภาพประกอบที่ 4-14 ภาพสองมิติแสดงการถ่ายโอนน้ำมันภายในผลิตภัณฑ์เต้าหู้ปลาที่ทอเดய
ใต้สภาวะสุญญาการ ที่เวลาในการทดสอบ 150 วินาที Boundary Condition ของน้ำมันที่ผิวผลิต
ภัณฑ์เท่ากับ 270 kg/m^3

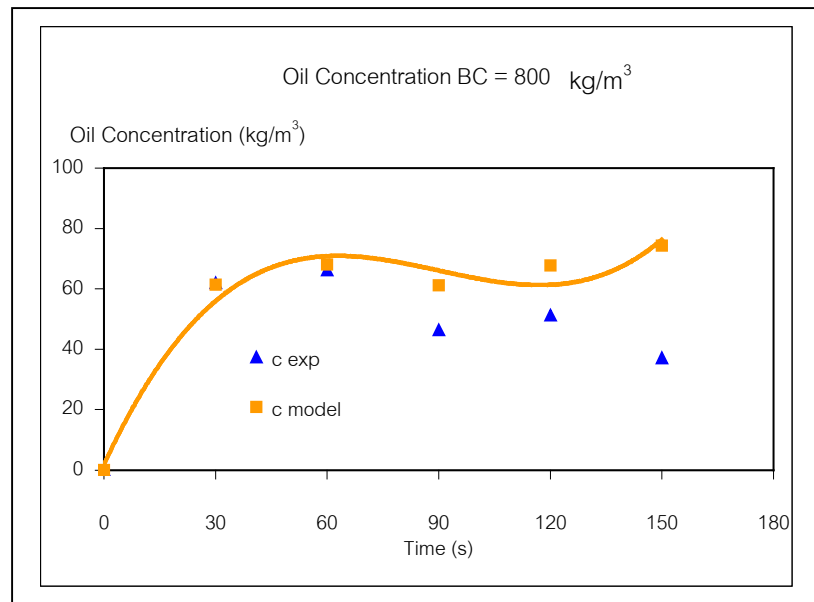


ภาพประกอบที่ 4-15 ภาพสองมิติแสดงการถ่ายโอนน้ำมันภายในผลิตภัณฑ์เท้าหัวปลาที่ทดสอบภายใต้สภาวะสูญญากาศ Boundary Condition ของน้ำมันที่ผิวผลิตภัณฑ์เท่ากับ 800 kg/m^3 ที่เวลาในการทดสอบ 0, 1, 15, 30, 45 และ 60 วินาที เรียงลำดับจากบนลงล่างและซ้ายไปขวาตามลำดับ

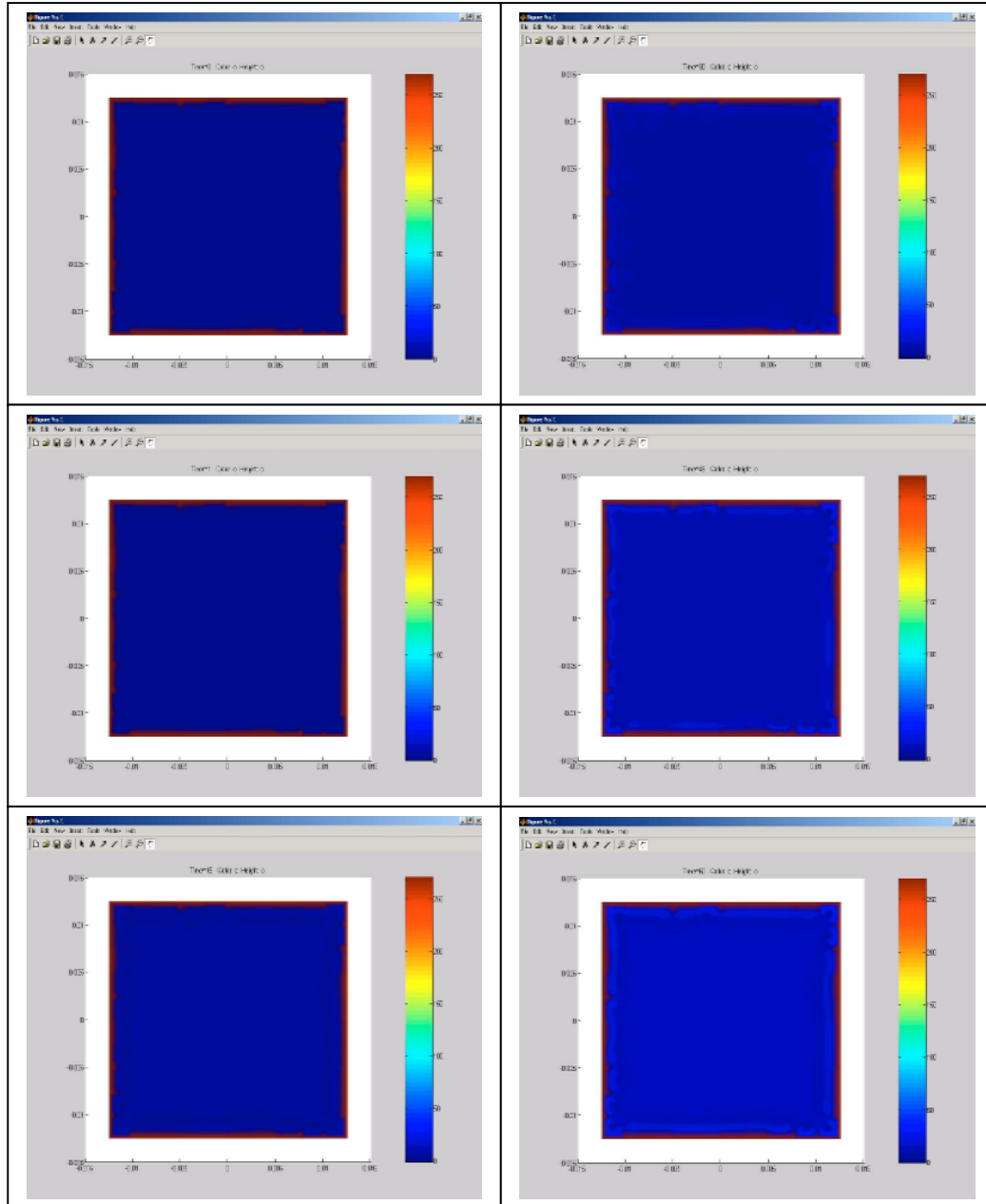


ภาพประกอบที่ 4-16 ภาพสองมิติแสดงการถ่ายโอนน้ำมันภายในผลิตภัณฑ์เท้าหัวปลาที่ทดสอบภายใต้สภาวะสูญญากาศ Boundary Condition ของน้ำมันที่ผิวผลิตภัณฑ์เท้าหัวกับ 800 kg/m^3 ที่เวลาในการทดสอบ 75, 90, 105, 120, 135 และ 150 วินาที เรียงลำดับจากบนลงล่างและซ้ายไปขวาตามลำดับ

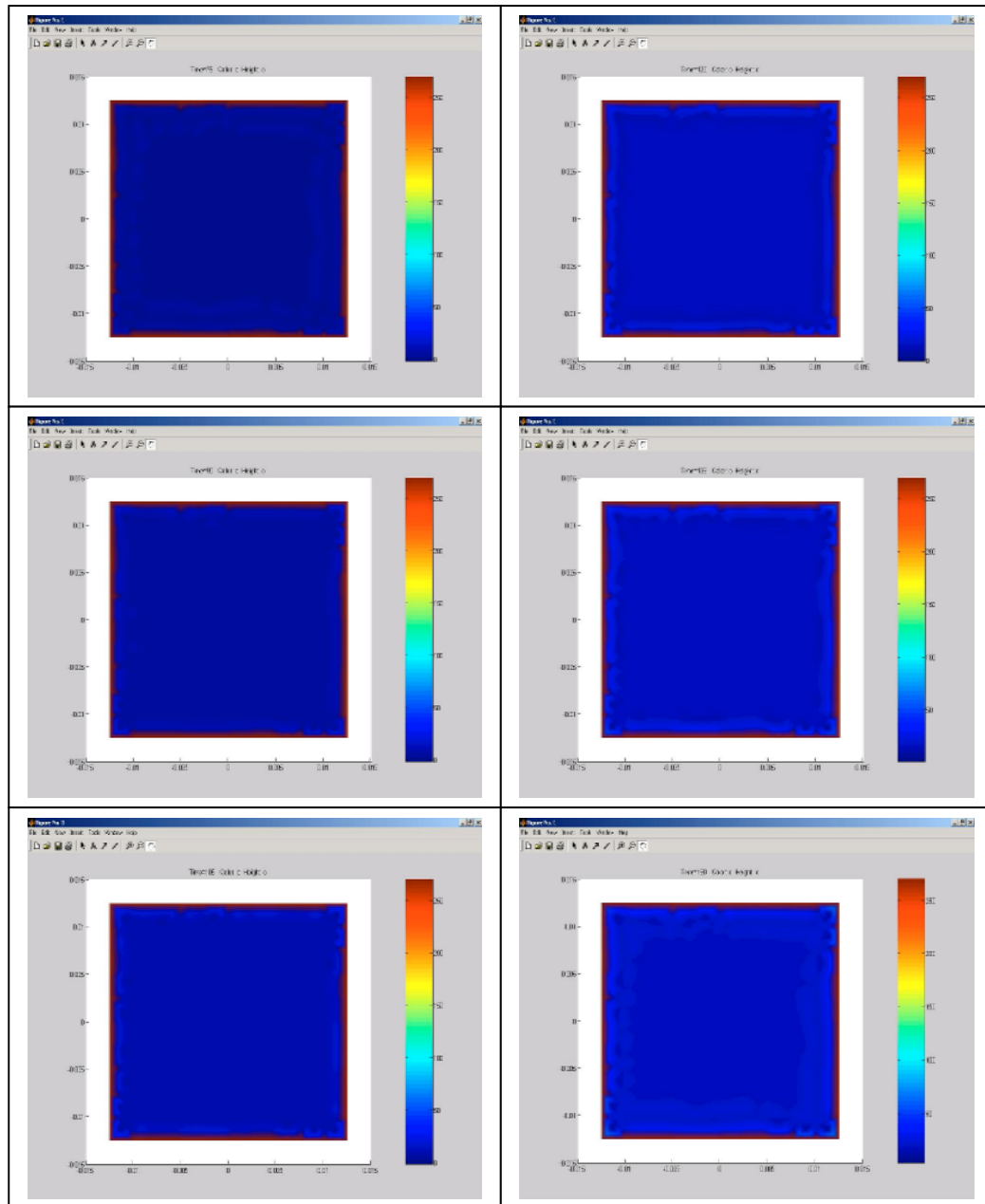
เมื่อนำค่าเฉลี่ยน้ำมันที่ได้จากแบบจำลองคณิตศาสตร์ ในภาพประกอบที่ 4-15 และภาพประกอบที่ 4-16 มาทำการแสดงด้วยกราฟเปรียบเทียบความเข้มข้นของความชื้นเฉลี่ยกับผลที่ได้จากการทดลองที่เวลาที่ใช้ในการทดสอบ 0-150 วินาที ดังแสดงในภาพประกอบที่ 4-17 พบว่า การเปลี่ยนแปลงไปของความเข้มข้นน้ำมันเฉลี่ยที่ได้จากแบบจำลองทางคณิตศาสตร์ Boundary Condition ของน้ำมันที่ผิวผลิตภัณฑ์เท่ากับ 800 kg/m^3 ซึ่งเปรียบเสมือนให้น้ำมันที่ใช้ในการทดสอบ เป็นสภาพของน้ำ และความเข้มข้นน้ำมันเฉลี่ยที่คำนวณแปลงค่าจากผลการทดลองมีแนวโน้มลดลงในลักษณะเดียวกันและใกล้เคียงกันในช่วง 0-120 วินาทีของการทดสอบ ภายหลังจากการทดสอบต่อไป 30 วินาที กราฟแสดงผลความเข้มข้นของน้ำมันที่ได้จากการทดลองมีค่าลดลงเรื่อยๆ จนกระทั่งสิ้นสุดการทดลอง แสดงให้เห็นถึงการดูดซึมน้ำมันของผลิตภัณฑ์เต้าหู้ปลาที่จะเกิดไกรดดูดซึมในอัตราเร็วและปริมาณความเข้มข้นสูงในช่วง 30 วินาทีแรกของการทดสอบ แต่เมื่อทำการทดสอบจนกระทั่งครบ 150 วินาทีนั้นปริมาณความเข้มข้นของน้ำมันจะมีค่าต่ำลงอย่างมาก น่าจะเป็นสาเหตุมาจากการความชื้นที่ผิวของผลิตภัณฑ์ที่ได้ระหว่างการทดสอบ 0-60 วินาทีนั้นมีค่าสูง โดยเฉพาะความชื้นบริเวณผิวของผลิตภัณฑ์ซึ่งสัมผัสกับน้ำมันที่ใช้ในการทดสอบ ความชื้นบริเวณผิวนี้จะจับตัวกับน้ำมันทำให้ปริมาณน้ำมันที่บริเวณผิวมีค่าสูง นอกจากนี้ผิวของผลิตภัณฑ์ที่ได้ระหว่างการทดสอบ 0-60 วินาที น่าจะยังไม่เปลี่ยนแปลงสภาพเป็นผิวแข็งหรือ crust อย่างเต็มที่ เมื่อเปลี่ยนแปลงความดันกลับสู่สภาพบรรยายกาศแรงกดดันอากาศจะขับดันน้ำมันที่ผิวดักล่าวเข้าสู่ผิวผลิตภัณฑ์ได้ง่ายและมากขึ้น ภายหลังการทดสอบต่อไป 30 วินาที ปริมาณความเข้มข้นน้ำมันจากราฟที่ได้มีค่าลดลงเรื่อยๆ จึงน่าจะเป็นผลจากเริ่มมีการเกิดผิวแข็งหรือ crust ขึ้นแล้วบริเวณผิวของผลิตภัณฑ์เต้าหู้ปลานั่นเอง กราฟที่ได้จากแบบจำลองทางคณิตศาสตร์จึงน่าจะแสดงการถ่ายโอนมวลตลอดระยะเวลาในการทดสอบโดยไม่คำนึงถึงการเกิดผิวแข็งหรือ crust ของผลิตภัณฑ์เต้าหู้ปลา



ภาพประกอบที่ 4-17 กราฟแสดงการเปรียบเทียบความเข้มข้นของน้ำมันเจลี่ยระหว่างผลจาก การทดลองกับแบบจำลองทางคณิตศาสตร์ Boundary Condition ของน้ำมันที่ผิวผลิตภัณฑ์เท่า กับ 800 kg/m^3

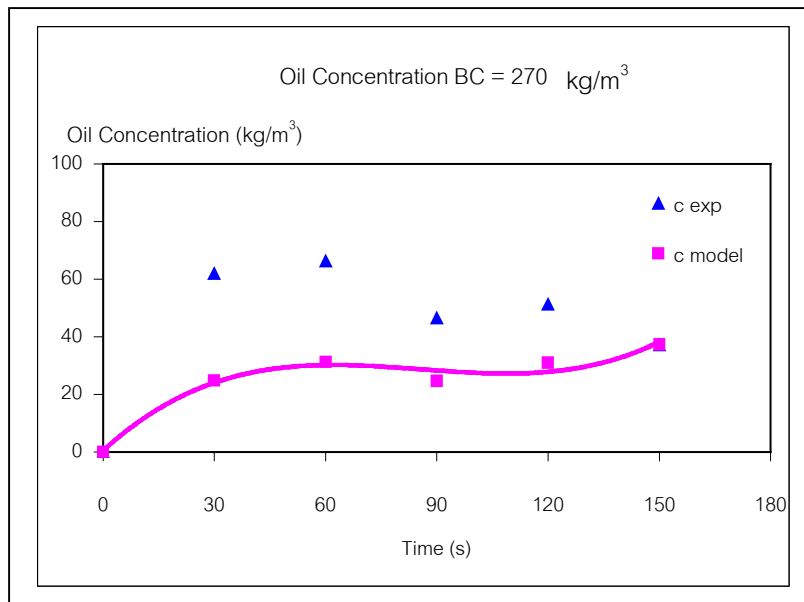


ภาพประกอบที่ 4-18 ภาพสองมิติแสดงการถ่ายโอนน้ำมันภายในผลิตภัณฑ์เท้าหัวปลาที่ทดสอบภายใต้สภาวะสูญญากาศ Boundary Condition ของน้ำมันที่ผิวผลิตภัณฑ์เท่ากับ 270 kg/m^3 ที่เวลาในการทดสอบ 0, 1, 15, 30, 45 และ 60 วินาที เรียงลำดับจากบนลงล่างและซ้ายไปขวาตามลำดับ



ภาพประกอบที่ 4-19 ภาพสองมิติแสดงการถ่ายโอนน้ำมันภายในผลิตภัณฑ์เท้าหัวปลาที่ทดสอบภายใต้สภาวะสูญญากาศ Boundary Condition ของน้ำมันที่ผิวผลิตภัณฑ์เท้ากับ 270 kg/m^3 ที่เวลาในการทดสอบ 75, 90, 105, 120, 135 และ 150 วินาที เรียงลำดับจากบนลงล่างและซ้ายไปขวาตามลำดับ

เมื่อนำค่าเฉลี่ยน้ำมันที่ได้จากแบบจำลองคณิตศาสตร์ภาพประกอบที่ 4-18 และภาพประกอบที่ 4-19 มาทำการแสดงด้วยกราฟเปรียบเทียบความเข้มข้นของความชื้นเฉลี่ยกับผลที่ได้จากการทดลองที่เวลาที่ใช้ในการทดสอบ 0-150 วินาที ดังแสดงในภาพประกอบที่ 4-20 พบว่า กราฟการเปลี่ยนแปลงไปของความเข้มข้นน้ำมันเฉลี่ยที่ได้จากแบบจำลองทางคณิตศาสตร์ Boundary Condition ของน้ำมันที่ผิวผลิตภัณฑ์เท่ากับ 270 kg/m^3 มีการเพิ่มขึ้นของความเข้มข้นน้ำมันในระดับต่ำกว่ากราฟที่แสดงความเข้มข้นน้ำมันที่ได้จากการทดลองมาก หากแต่ปริมาณความเข้มข้นน้ำมันสุดท้ายที่ได้จากการทดลองและแบบจำลองทางคณิตศาสตร์มีค่าเท่ากันเมื่อสิ้นสุดการทดลองเนื่องจากการใช้ Boundary Condition ของน้ำมันที่ผิวผลิตภัณฑ์เท่ากับ 270 kg/m^3 ซึ่งเป็นความเข้มข้นน้ำมันที่ผิวของผลิตภัณฑ์เต้าหู้ปลาที่ 150 วินาที ซึ่งได้จากการคำนวณเป็นสภาวะข้อบอกราฟที่ได้จากการทดลองทางคณิตศาสตร์ Boundary Condition 270 kg/m^3 จึงน่าจะแสดงปริมาณความเข้มข้นของน้ำมันเฉลี่ยที่ผลิตภัณฑ์ดูดซึมไว้ระหว่างการทดสอบและการทดสอบเป็นระยะเวลา 150 วินาทีได้โดยกราฟที่ได้นั้นน่าจะแสดงถึงการถ่ายโอนน้ำมันเฉพาะที่มีการถ่ายโอนระหว่างการทดสอบโดยไม่รวมปริมาณน้ำมันที่จับตัวกับความชื้นที่ผิวที่ถูกดูดซึมหรือมีถูกขับตันเข้าสู่ผลิตภัณฑ์เต้าหู้ปลาภายหลังเปลี่ยนแปลงความดันจากสภาวะสุญญากาศเป็นสภาวะบรรยายกาศเนื่องด้วยกราฟที่ได้แสดงการถ่ายโอนน้ำมันแปรผันตามเวลาจนกว่าจะสิ้นสุดการทดสอบ ดังนั้นผลต่างของระดับความสูงของเส้นกราฟความเข้มข้นน้ำมันเฉลี่ยที่ได้จากการทดลองและกราฟความเข้มข้นน้ำมันเฉลี่ยที่ได้จากการแบบจำลองทางคณิตศาสตร์จึงน่าจะใช้บ่งบอกถึงปริมาณน้ำมันที่จับตัวกับความชื้นที่ผิวที่มีถูกขับตันเข้าสู่ผลิตภัณฑ์เต้าหู้ปลาภายหลังเปลี่ยนแปลงความดันที่เวลาในกราฟทดสอบต่าง ๆ ได้

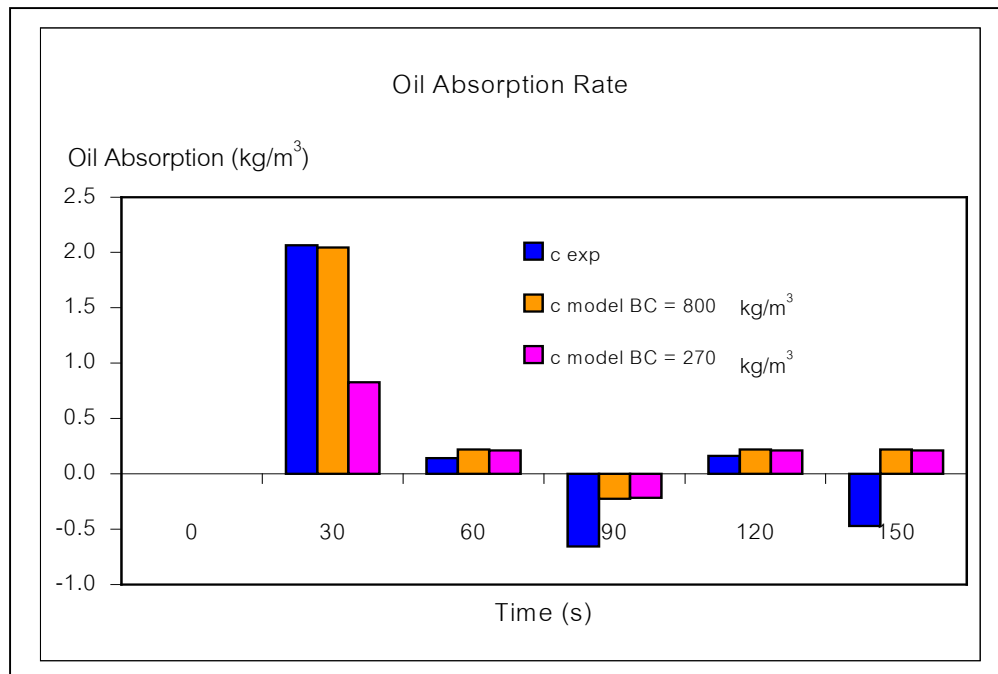


ภาพประกอบที่ 4-20 กราฟแสดงการเปรียบเทียบความเข้มข้นของน้ำมันเจลี่ยระหว่างผลจาก การทดลองกับแบบจำลองทางคณิตศาสตร์ Boundary Condition ของน้ำมันที่ผิวผลิตภัณฑ์เท่า กับ 270 kg/m^3

ในภาพประกอบที่ 4-15, ภาพประกอบที่ 4-16, ภาพประกอบที่ 4-18 และภาพ ประกอบที่ 4-19 นั้น พบร่วมกันว่าภาพนิ่งสองมิติที่ได้สามารถแสดงการถ่ายโอนน้ำมันภายในผลิตภัณฑ์ เต้าหู้ปลาที่ทดสอบภายใต้สภาวะสุญญาการได้ในระดับหนึ่ง เช่นเดียวกับแบบจำลองทาง คณิตศาสตร์การถ่ายโอนความร้อนและการถ่ายโอนความชื้น เนื่องจากลักษณะภาพที่ได้ใกล้เคียง กันมีความเป็นไปในลักษณะเดียวกัน ภาพนิ่งที่ได้ใช้สีในการบอกถึงระดับสูงต่ำของความเข้มข้น ของน้ำมันที่ใช้ในการทดสอบที่ถ่ายโอนสู่ผลิตภัณฑ์เต้าหู้ปลา โดยที่บริเวณความเข้มข้นหรืออุณหภูมิ ระดับต่ำจะแสดงเป็นสีน้ำเงินเข้มและໄลร์ดับไปจนกระทั่งถึงสีแดงเข้มที่บ่งบอกถึงความเข้มข้น หรืออุณหภูมิระดับสูง ตาม Colorbar บอกระดับความเข้มข้นที่แสดงไว้ทางขวามือของภาพ เช่น เดียวกับแบบจำลองคณิตศาสตร์การถ่ายโอนความร้อนและการถ่ายโอนความชื้น โดยระดับความ เข้มข้นจะเริ่มมีการถ่ายโอนจากภายนอกผลิตภัณฑ์สู่ภายนอกในผลิตภัณฑ์ซึ่งสัมผัสกับน้ำมันใน ระหว่างการทดสอบ ที่เวลาในการทดสอบเพิ่มมากขึ้นนั้นการถ่ายโอนน้ำมันเข้าสู่ผลิตภัณฑ์จะเพิ่มขึ้น แปรผันตามเวลาในการทดสอบ เช่นเดียวกับการถ่ายโอนความร้อนและการถ่ายโอนความชื้น การ สังเกตการถ่ายโอนน้ำมันของผลิตภัณฑ์เต้าหู้ปลา จะทำได้ยากเช่นเดียวกับการถ่ายโอนความชื้น ของผลิตภัณฑ์เต้าหู้ปลา และยกเว้นการสังเกตการถ่ายโอนความร้อนในผลิตภัณฑ์เต้าหู้ปลา

เนื่องจากการถ่ายโอนน้ำมันเข้าสู่ผลิตภัณฑ์นั้น มีการเปลี่ยนแปลงความเข้มข้นของน้ำมันในแต่ละ บริเวณภายในเนื้อผลิตภัณฑ์ในระดับต่ำ การกระจายของน้ำมันภายในผลิตภัณฑ์จะสังเกตได้ชัด เชนที่บริเวณผิวของผลิตภัณฑ์และลึกเข้าสู่เนื้อผลิตภัณฑ์ไม่มากนัก เมื่อเวลาในการหยอดมากขึ้น ความเข้มของโอนสีจะเพิ่มขึ้น ตรงกันข้ามกับการถ่ายโอนความชื้นออกจากผลิตภัณฑ์ซึ่งความชื้น ของผลิตภัณฑ์จะลดลง เนื่องจากบริเวณดังกล่าวสัมผัสโดยตรงกับน้ำมันซึ่งเกิดการถ่ายโอนสูงกว่า ภายในผลิตภัณฑ์มาก และบริเวณดังกล่าวสามารถถ่ายโอนมวลสารได้อย่างกว้างขวางและรวดเร็ว เนื้อ ภายในผลิตภัณฑ์ ในขณะบริเวณพื้นที่ภายในเนื้อผลิตภัณฑ์โดยส่วนใหญ่การแสดงผลจะออกมาร เป็นระดับความเข้มสีในโทนสีใกล้เดียวกันมากจึงอาจสังเกตได้ยาก ดังนั้นจากการประกอบบึง ปรากฏสีน้ำเงินเข้ม ในระดับล่างสุดของ Colorbar ซึ่งแสดงถึงระดับความเข้มข้นต่ำสุดที่บริเวณเนื้อ ของผลิตภัณฑ์โดยส่วนใหญ่ในทุกภาพประกอบหากแต่จะแตกต่างกันที่ความเข้มของโทนสีแดงใน บริเวณผิวผลิตภัณฑ์ โดยพื้นที่ส่วนใหญ่นั้นจะค่อนข้างขาวๆ ลดระดับความเข้มลงที่เวลาในการหยอดเพิ่ม มากขึ้นแสดงถึงปริมาณน้ำมันที่แพร่เข้าสู่ผลิตภัณฑ์ในระหว่างการหยอด

การถ่ายโอนน้ำมันภายในผลิตภัณฑ์เตาหุ้ปลาที่หอดภายในส่วนใหญ่ได้สภาวะสูญญากาศดัง แสดงในภาพประกอบที่ 4-15, ภาพประกอบที่ 4-16, ภาพประกอบที่ 4-18 และภาพประกอบที่ 4- 19 นั้น แสดงว่าการถ่ายโอนน้ำมันเข้าสู่ผลิตภัณฑ์นั้นมีอัตราสูงและเกิดอย่างรวดเร็วเฉพาะที่ บริเวณผิวของผลิตภัณฑ์ ซึ่งมีความสอดคล้องกับแบบจำลองทางคณิตศาสตร์การถ่ายโอน ความชื้นของผลิตภัณฑ์เตาหุ้ปลา เนื่องจากบริเวณผิวดังกล่าวมีการถ่ายโอนมวลออกจากผลิต ภัณฑ์ในอัตราสูงและรวดเร็วเช่นกัน การถ่ายโอนน้ำมันเข้าแทนที่ความชื้นที่สูญเสียไปที่บริเวณผิว ซึ่งมีความอิสระในการถ่ายโอนสูงนั้นจะเกิดได้ง่ายและรวดเร็ว เหตุผลของการเกิดผิวแข็งหรือ crust บริเวณผิวผลิตภัณฑ์ดังที่กล่าวไป น่าจะเป็นเหตุผลที่ทำให้การถ่ายโอนน้ำมันเกิดขึ้นและ น้ำอยู่ จากแบบจำลองคณิตศาสตร์บริเวณดังกล่าวจะมีสีแดงเข้มซึ่งน่าจะบ่งบอกว่าการถ่ายโอน น้ำมันจะมีการถ่ายโอนเข้าสู่ผลิตภัณฑ์ที่บริเวณผิวน้ำอยู่ สภาพน้ำอยู่น้ำมันจึงสามารถถ่ายโอนความชื้นออกจากผลิตภัณฑ์จากบริเวณภายใน ผลิตภัณฑ์น้ำอยู่น้ำมันจึงสามารถถ่ายโอนเข้าแทนที่บริเวณภายในได้น้ำอยู่เช่นกัน นอกจากนี้การ ทดลองเพื่อวิเคราะห์หนาน้ำมันภายในผลิตภัณฑ์นั้นค่าที่ได้จะแสดงในลักษณะเปอร์เซ็นต์น้ำมัน ดัง นั้นเมื่อจะสร้างแบบจำลองทางคณิตศาสตร์รึจึงจำเป็นต้องคำนวณแปลงค่าไปเป็นค่าของความเข้ม ข้นน้ำมันเนื่องจากข้อจำกัดในการป้อนข้อมูลของแบบทางคณิตศาสตร์



ภาพประกอบที่ 4-21 กราฟแสดงอัตราการดูดซึมน้ำมันของผลิตภัณฑ์เต้าหู้ปลาในการทดสอบ
ให้สภาวะสุญญาอากาศ

จากภาพประกอบที่ 4-21 ซึ่งเป็นกราฟแสดงอัตราการดูดซึมน้ำมันของผลิตภัณฑ์เต้าหู้ปลาในการทดสอบให้สภาวะสุญญาอากาศที่ได้จากการทดลอง และจากการแบบจำลองทางคณิตศาสตร์ทั้งแบบ Boundary Condition ของน้ำมันที่ผิวผลิตภัณฑ์เต้าหู้กับ 800 kg/m^3 และ Boundary Condition ของน้ำมันที่ผิวผลิตภัณฑ์เต้าหู้กับ 270 kg/m^3 สามารถแบ่งออกเป็นช่วงและอธิบายได้ดังนี้

ช่วงที่ 1 ช่วง 0-30 วินาที แรกของการทดสอบ กราฟที่ได้จะมีอัตราการดูดซับน้ำมันสูง ซึ่งเป็นช่วงที่แสดงถึงช่วงที่มีอัตราการระเหยน้ำของผลิตภัณฑ์เต้าหู้ปลาในอัตราสูงและรวดเร็ว ทำให้มีการดูดซึมน้ำมันเข้าสู่ผลิตภัณฑ์เต้าหู้ปลาจำนวนมากและรวดเร็ว

ช่วงที่ 2 ช่วง 30-60 วินาทีของการทดสอบ อัตราการดูดซึมน้ำมันของผลิตภัณฑ์เต้าหู้ปลาจะลดลงเนื่องจากเริ่มมีการเกิด crust ของผิวของผลิตภัณฑ์เต้าหู้ปลา

ช่วงที่ 3 ช่วง 60-90 วินาทีของการทดสอบ อัตราการดูดซึมน้ำมันของผลิตภัณฑ์เต้าหู้ปลาจะลดลงอย่างมาก เนื่องจาก crust ที่เกิดขึ้น ค่าอัตราการดูดซึมน้ำมันที่ได้มีค่าเป็นลบแสดงให้เห็นว่าทิศทางการดูดซึมน้ำมันของผลิตภัณฑ์มีทิศ反向ทางหรือมีการไหลออกของน้ำมันจากผลิตภัณฑ์เต้าหู้ปลา อันเนื่องมาจากผลของการดูดซึมน้ำมันที่มีค่าสูง ความดันไอดังกล่าวจะเป็น

ตัวผลักดันให้น้ำมันซึ่งถูกดูดซึมเข้ามาและยังไม่สามารถเกาะติดผิวของผนังรูพูนภายในผลิตภัณฑ์เต้าหู้ปลาถูกขับดันออกสู่ผิวของผลิตภัณฑ์อีกด้วย

ช่วงที่ 4 ช่วง 90-150 วินาทีของการทดสอบ อัตราการดูดซึมน้ำมันของผลิตภัณฑ์เต้าหู้ปลาจะมีค่าต่ำและมีอัตราการดูดซึมน้ำมันในลักษณะคงที่ เนื่องจากการเกิด crust ของผลิตภัณฑ์เต้าหู้ปลาและความดันไออกายในผลิตภัณฑ์เต้าหู้ปลาซึ่งเป็นคุปส์คร็อกในการถ่ายโอนมวลของน้ำมัน